

**Premessa**

Il previsto rinforzo della capacità sismica dell'edificio attraverso la "controventatura" delle facciate (vedi Relazione di calcolo 1° e 2° parte) comporta una serie di opere consequenziali; in particolare:

- la rimozione e ricostruzione di una porzione di solaio a calpestio del piano seminterrato e di una porzione di solaio-terrazza quota piano terra, per l'alloggio del controvento lato ovest; le relative verifiche sono trattate nella relazione parte 4° nel paragrafo "verifica solai";
- il rinforzo delle travi su cui si innestano i controventi, a quota piano primo; si precisa che l'edificio è stato analizzato anche con analisi sismica modale, oltre alla non lineare, e tutte le travi su cui si innestano i controventi sono state analizzate considerandone le caratteristiche dimensionali e meccaniche (sezioni ed armature, resistenza del calcestruzzo e delle armature) ricavate dall'esame del progetto e dalle valutazioni effettuate in sede di verifica sismica; in conseguenza delle suddette verifiche risulta necessario rafforzare a taglio tutte le travi quota piano primo e a flessione solo la trave piano primo lato sud. Il rinforzo è progettato mediante incollaggio di tessuti in fibra di carbonio con resina epossidica tissotropica (sistema dotato di Certificato di Valutazione Tecnica): per la flessione ai lembi inferiore e superiore; per il taglio ad U sulle facciate laterali e inferiormente (vedasi tavola 3S).

Per la riduzione di fenomeni di instabilità locale, invece si ritiene opportuno rinforzare le travi a spessore dei piani terra, primo e secondo, sulle quali l'analisi non lineare indica chiaramente la formazione di cerniere plastiche; anche in questo caso si prevede il rinforzo a flessione con incollaggio di tessuti FRP ai lembi inferiore o inferiore+superiore.

Per riassumere a parte di relazione di calcolo in oggetto riporta :

1. verifica e progetto del rinforzo delle travi ricalcate (in corrisp. Dei controventi);
2. progetto del rinforzo travi a spessore.

## 1. VERIFICA E PROGETTO DEL RINFORZO DELLE TRAVI RICALATE

### **Verifiche di resistenza (armatura e sezione) delle travi ricalate su cui si innestano i controventi**

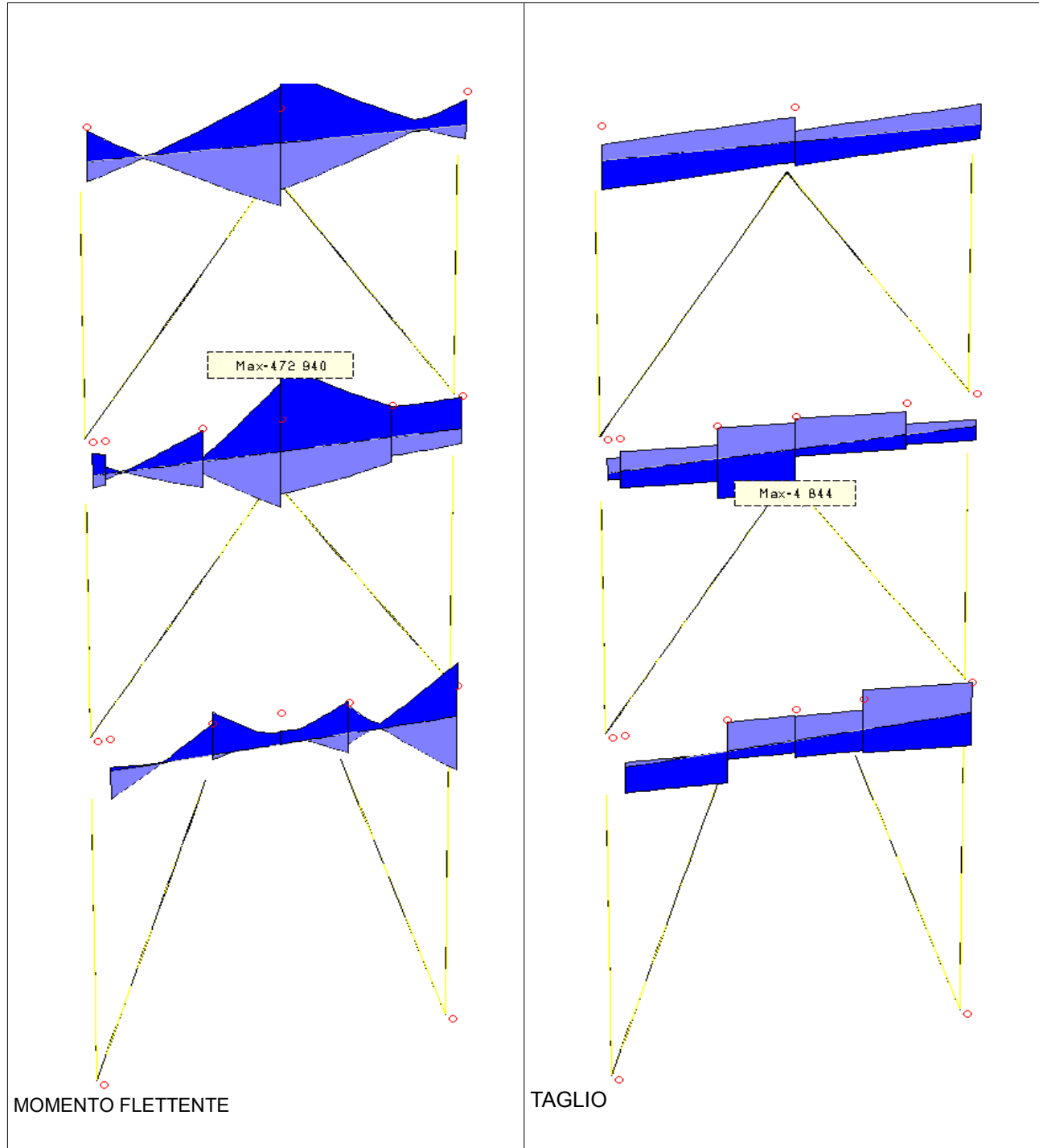
Per la valutazione del livello di resistenza sismica dell'edificio lo stesso è stato analizzato mediante analisi **non lineare** (push-over), mentre per il calcolo delle sollecitazioni nei vari elementi (travi in cls, controventi in acciaio) è stato studiato anche il modello di **analisi lineare modale**, con azione sismica corrispondente al periodo di ritorno pari a 207 anni, ovvero quello essere rappresentativo della capacità resistente dell'edificio secondo l'analisi non lineare.

I risultati dell'analisi lineare sono, quindi, serviti al dimensionamento di colonne e diagonali dei controventi, oltre ai giunti di collegamento, ed alla verifica di sezione ed armature delle travi esistenti in calcestruzzo armato cui sono collegati i controventi stessi; riguardo a queste ultime si precisa che le sollecitazioni (taglio e pressoflessione) nelle travi in c.a. sono ampiamente verificate a livello piano terra e piano secondo per le travi dei controventi nord ed ovest e piano secondo per la trave del controvento sud; serve invece un rinförzo a flessione per la trave piano primo lato sud ed a taglio per le travi del piano primo nord, ovest e sud.

Si riportano i diagrammi della sollecitazione (taglio, e momento flettente) nel piano dei tre controventi (nord, ovest e sud), considerando l'*inviluppo* di tutte combinazioni di carico; si riporta, inoltre, un estratto dei tabulati di verifica, ovvero quelli relativi alle aste più sollecitate, delle travi di piano su cui si innestano i controventi; si precisa che i tabulati, riportati per intero nel fascicolo dei calcoli, indicano una armatura di base (4,02 cmq inferiore, superiore, anteriore e posteriore, ovvero "vista" dai 4 lati della sezione) e una armatura aggiuntiva che risulta o meno necessaria in base alla sollecitazione; nel nostro caso però tutte le travi sono armate più del minimo ovvero con 6,03 cmq (3d16) in ogni lato ; quindi, in definitiva, la sezione esistente non è verificata se e quando è richiesta una armatura superiore a 6,03 cmq.

## CONTROVENTO NORD

Dai tabulati che seguono si evince come la trave quota piano primo necessita di rinforzo a taglio; per le travi del piano terra e del piano secondo (copertura) invece non c'è necessità di rinforzo.



Di seguito un estratto dei tabulati di verifica delle tre travi, ovvero solo quelle del piano primo per le quali serve un rinforzo a taglio; le combinazioni di calcolo non soddisfatte sono rappresentate in colore rosso.









21K 0 -3917 -271 -826 -146 -77 578 4.02 4.02 4.02 4.02 4.02 4 0.03 0.05 0.52 0.00 0.00 --  
 21L 0 -3917 1086 -826 -146 -77 -915 4.02 4.02 4.02 4.02 4.02 4 0.04 0.06 0.60 0.00 0.00 --  
 21M 0 4795 -271 -49 -146 359 578 4.02 4.02 4.02 4.02 4.02 2 0.31 0.04 0.44 0.00 0.00 --  
 21N 0 4795 1086 -49 -146 359 -915 4.02 4.02 4.02 4.02 4.02 2 0.31 0.06 0.62 0.00 0.00 --  
 21O 0 4795 -271 -826 -146 -77 578 4.02 4.02 4.02 4.02 4.02 1 0.21 0.05 0.53 0.00 0.00 --  
 21P 0 4795 1086 -826 -146 -77 -915 4.02 4.02 4.02 4.02 4.02 1 0.24 0.06 0.62 0.00 0.00 --

apost=-- aant=-- ainf=-- asup=-- (e arm. base=4 X 2.01) staffe=2 d 8 / 33.0

1 6 423 383 -568 -106 210 -326 4.02 4.02 4.02 4.02 2 0.09 0.04 0.38 0.00 0.00 --  
 2 6 306 504 -860 -144 265 -362 4.02 4.02 4.02 4.02 2 0.11 0.06 0.53 0.00 0.00 --  
 3 6 46 366 -631 -112 212 -293 4.02 4.02 4.02 4.02 2 0.08 0.04 0.40 0.00 0.00 --  
 4 6 1063 536 -528 -113 233 -427 4.02 4.02 4.02 4.02 2 0.12 0.04 0.42 0.00 0.00 --  
 5 6 593 577 -872 -146 265 -374 4.02 4.02 4.02 4.02 2 0.12 0.06 0.53 0.00 0.00 --  
 6 6 547 302 -109 -56 155 -331 4.02 4.02 4.02 4.02 2 0.08 0.02 0.22 0.00 0.00 --  
 7 6 51 363 -637 -113 215 -299 4.02 4.02 4.02 4.02 2 0.09 0.04 0.41 0.00 0.00 --  
 8 6 541 519 -822 -142 267 -392 4.02 4.02 4.02 4.02 2 0.12 0.05 0.52 0.00 0.00 --  
 9 6 579 524 -782 -137 258 -384 4.02 4.02 4.02 4.02 2 0.12 0.05 0.50 0.00 0.00 --  
 19 6 438 387 -548 -103 204 -320 4.02 4.02 4.02 4.02 2 0.09 0.04 0.37 0.00 0.00 --  
 20 6 423 383 -568 -106 210 -326 4.02 4.02 4.02 4.02 2 0.09 0.04 0.38 0.00 0.00 --  
 21A 6 -5976 -799 -138 -144 486 666 4.02 4.02 4.02 4.02 5 0.09 0.05 0.52 0.00 0.00 --  
 21B 6 -5976 1528 -138 -144 486 -1206 4.02 4.02 4.02 4.02 4 0.09 0.07 0.66 0.00 0.00 --  
 21C 6 -5976 -799 -737 -144 -149 666 4.02 4.02 4.02 4.02 6 0.04 0.05 0.52 0.00 0.00 --  
 21D 6 -5976 1528 -737 -144 -149 -1206 4.02 4.02 4.02 4.02 6 0.06 0.07 0.66 0.00 0.00 --  
 21E 6 6855 -799 -138 -144 486 666 4.02 4.02 4.02 4.02 2 0.43 0.05 0.54 0.00 0.00 --  
 21F 6 6855 1528 -138 -144 486 -1206 4.02 4.02 4.02 4.02 2 0.43 0.07 0.72 0.00 0.00 --  
 21G 6 6855 -799 -737 -144 -149 666 4.02 4.02 4.02 4.02 1 0.29 0.05 0.54 0.00 0.00 --  
 21H 6 6855 1528 -737 -144 -149 -1206 4.02 4.02 4.02 4.02 1 0.33 0.07 0.72 0.00 0.00 --  
 21I 6 -3917 -314 -49 -146 389 599 4.02 4.02 4.02 4.02 4 0.07 0.04 0.44 0.00 0.00 --  
 21J 6 -3917 1043 -49 -146 389 -915 4.02 4.02 4.02 4.02 4 0.07 0.06 0.59 0.00 0.00 --  
 21K 6 -3917 -314 -826 -146 -53 599 4.02 4.02 4.02 4.02 4 0.03 0.05 0.52 0.00 0.00 --  
 21L 6 -3917 1043 -826 -146 -53 -915 4.02 4.02 4.02 4.02 4 0.04 0.06 0.59 0.00 0.00 --  
 21M 6 4795 -314 -49 -146 389 -915 4.02 4.02 4.02 4.02 2 0.32 0.04 0.45 0.00 0.00 --  
 21N 6 4795 1043 -49 -146 389 -915 4.02 4.02 4.02 4.02 2 0.32 0.06 0.61 0.00 0.00 --  
 21O 6 4795 -314 -826 -146 -53 599 4.02 4.02 4.02 4.02 1 0.21 0.05 0.53 0.00 0.00 --  
 21P 6 4795 1043 -826 -146 -53 -915 4.02 4.02 4.02 4.02 1 0.24 0.06 0.61 0.00 0.00 --

apost=-- aant=-- ainf=-- asup=-- (e arm. base=4 X 2.01) staffe=2 d 8 / 33.0

1 13 423 336 -568 -106 245 -278 4.02 4.02 4.02 4.02 2 0.11 0.04 0.38 0.00 0.00 --  
 2 13 306 443 -851 -144 319 -299 4.02 4.02 4.02 4.02 2 0.13 0.06 0.53 0.00 0.00 --  
 3 13 46 311 -631 -112 251 -247 4.02 4.02 4.02 4.02 2 0.10 0.04 0.40 0.00 0.00 --  
 4 13 1063 480 -528 -113 266 -360 4.02 4.02 4.02 4.02 2 0.14 0.04 0.40 0.00 0.00 --  
 5 13 593 521 -858 -146 319 -302 4.02 4.02 4.02 4.02 2 0.14 0.06 0.53 0.00 0.00 --  
 6 13 547 246 -133 -56 163 -293 4.02 4.02 4.02 4.02 2 0.08 0.02 0.20 0.00 0.00 --  
 7 13 51 307 -637 -113 254 -254 4.02 4.02 4.02 4.02 2 0.10 0.04 0.41 0.00 0.00 --  
 8 13 541 464 -813 -142 319 -327 4.02 4.02 4.02 4.02 2 0.14 0.05 0.52 0.00 0.00 --  
 9 13 579 468 -774 -137 307 -318 4.02 4.02 4.02 4.02 2 0.14 0.05 0.50 0.00 0.00 --  
 19 13 438 340 -548 -103 238 -271 4.02 4.02 4.02 4.02 2 0.11 0.04 0.37 0.00 0.00 --  
 20 13 423 336 -568 -106 245 -278 4.02 4.02 4.02 4.02 2 0.11 0.04 0.38 0.00 0.00 --  
 21A 13 -5976 -842 -138 -144 510 666 4.02 4.02 4.02 4.02 5 0.09 0.05 0.53 0.00 0.00 --  
 21B 13 -5976 1485 -138 -144 510 -1031 4.02 4.02 4.02 4.02 4 0.09 0.07 0.66 0.00 0.00 --  
 21C 13 -5976 -842 -737 -144 -118 666 4.02 4.02 4.02 4.02 6 0.04 0.05 0.53 0.00 0.00 --  
 21D 13 -5976 1485 -737 -144 -118 -1031 4.02 4.02 4.02 4.02 6 0.05 0.07 0.66 0.00 0.00 --  
 21E 13 6855 -842 -138 -144 510 666 4.02 4.02 4.02 4.02 2 0.45 0.05 0.55 0.00 0.00 --  
 21F 13 6855 1485 -138 -144 510 -1031 4.02 4.02 4.02 4.02 2 0.45 0.07 0.71 0.00 0.00 --  
 21G 13 6855 -842 -737 -144 -118 666 4.02 4.02 4.02 4.02 1 0.28 0.05 0.55 0.00 0.00 --  
 21H 13 6855 1485 -737 -144 -118 -1031 4.02 4.02 4.02 4.02 1 0.32 0.07 0.71 0.00 0.00 --  
 21I 13 -3917 -357 -49 -146 420 616 4.02 4.02 4.02 4.02 4 0.08 0.04 0.45 0.00 0.00 --  
 21J 13 -3917 1000 -49 -146 420 616 4.02 4.02 4.02 4.02 4 0.08 0.06 0.58 0.00 0.00 --  
 21K 13 -3917 -357 -826 -146 -28 616 4.02 4.02 4.02 4.02 4 0.03 0.05 0.52 0.00 0.00 --  
 21L 13 -3917 1000 -826 -146 -28 -798 4.02 4.02 4.02 4.02 4 0.04 0.06 0.58 0.00 0.00 --  
 21M 13 4795 -357 -49 -146 420 616 4.02 4.02 4.02 4.02 2 0.34 0.04 0.46 0.00 0.00 --  
 21N 13 4795 1000 -49 -146 420 -798 4.02 4.02 4.02 4.02 2 0.34 0.06 0.60 0.00 0.00 --  
 21O 13 4795 -357 -826 -146 -28 616 4.02 4.02 4.02 4.02 1 0.21 0.05 0.53 0.00 0.00 --  
 21P 13 4795 1000 -826 -146 -28 -798 4.02 4.02 4.02 4.02 1 0.23 0.06 0.60 0.00 0.00 --

apost=-- aant=-- ainf=-- asup=-- (e arm. base=4 X 2.01) staffe=2 d 8 / 33.0

## PROGETTO DEL SISTEMA DI RINFORZO A TAGLIO TRAVE RICALATA P.1° NORD

Rinforzo con tessuti di carbonio monodirezionali incollati mediante resina epossidica tissotropica; sistema dotato di Certificato di Valutazione Tecnica

### Caratteristiche dei materiali

Livello di conoscenza

LC2

Fattore di confidenza

FC = 1,2

#### Calcestruzzo

Resistenza cilindrica del calcestruzzo

$f_c = 28 \text{ MPa}$

Il valore di resistenza inserito è un

Valore medio

Resistenza cilindrica media del calcestruzzo

$f_{cm} = 28 \text{ MPa}$

Resistenza cilindrica caratteristica del calcestruzzo

$f_{ck} = 20 \text{ MPa}$

Resistenza media a trazione del calcestruzzo

$f_{ctm} = 2,21 \text{ MPa}$

Modulo di elasticità normale

$E_{cn} = 29961,951 \text{ MPa}$

Deformazione di riferimento del calcestruzzo

$\epsilon_{cr} = 0,002 \text{ MPa}$

Deformazione ultima del calcestruzzo

$\epsilon_{cu} = 0,004 \text{ MPa}$

Coefficiente di sicurezza

$\gamma_c = 1,5 \text{ MPa}$

Resistenza di progetto del calcestruzzo

$f_{cd} = 9,444 \text{ MPa}$

#### Acciaio

Resistenza caratteristica a snervamento dell'acciaio

$f_{yk} = 375 \text{ MPa}$

Resistenza caratteristica a rottura dell'acciaio

$f_{uk} = 451 \text{ MPa}$

Modulo di elasticità normale

$E_s = 206000 \text{ MPa}$

Deformazione di progetto dell'acciaio

$\epsilon_{yd} = 0,001 \text{ MPa}$

Deformazione a rottura dell'acciaio

$\epsilon_u = 0,068 \text{ MPa}$

Coefficiente di sicurezza

$\gamma_c = 1,15 \text{ MPa}$

Resistenza di progetto a snervamento dell'acciaio

$f_{yd} = 271,739 \text{ MPa}$

### Caratteristiche geometriche della sezione

Base della sezione

$b = 200 \text{ mm}$

Altezza della sezione

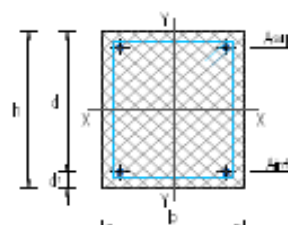
$h = 700 \text{ mm}$

Copriferro

$d_i = 35 \text{ mm}$

Altezza utile

$d = 665 \text{ mm}$



Geometria delle armature:

|                    | n. barre | $\phi \text{ [mm]}$ | $A_{sl,sp} \text{ [mm}^2]$ | $A_{sl,inf} \text{ [mm}^2]$ |
|--------------------|----------|---------------------|----------------------------|-----------------------------|
| Armatura superiore | 3        | 16                  | 603,186                    |                             |
| Armatura inferiore | 3        | 16                  |                            | 603,186                     |
|                    | 0        | 0                   |                            |                             |

|        | n. braccia | $\phi \text{ [mm]}$ | $\phi \text{ [mm]}$ | $A_{sl,sp} \text{ [mm}^2]$ | $A_{sl,inf} \text{ [mm}^2]$ |
|--------|------------|---------------------|---------------------|----------------------------|-----------------------------|
| Staffe | 2          | 8                   | 330                 | 100,531                    | 0,305                       |

### Sollecitazioni

Taglio sollecitante

$V_{Ed} = 34 \text{ kN}$

Sforzo normale

$N_{Ed} = 202 \text{ kN}$

### Resistenza a taglio della sezione non rinforzata

Resistenza a taglio della sezione senza armature trasversali resistenti a taglio

Area di calcestruzzo

$$A_c = 140000 \text{ mm}^2$$

Rapp. geom. Armatura longitudinale

$$\rho_l = 0,005$$

Asl=Ainf

Resistenza a taglio

$$\sigma_{cp} = 86,18 \text{ kN}$$

Verifica:

$$V_{Rd,c} = 86,18 \text{ kN} > 34 \text{ kN}$$

La verifica è soddisfatta

Resistenza a taglio della sezione con armature trasversali resistenti a taglio

Angolo d'inclinazione delle staffe

$$\alpha = 90^\circ$$

Calcolo della resistenza a taglio per diversi valori della cotg  $\theta_{real}$ :

| cotgθ | V <sub>Rd,s</sub> [kN] | V <sub>Rd,c</sub> [kN] | V <sub>Rd</sub> [kN] |
|-------|------------------------|------------------------|----------------------|
| 1,00  | 49,545                 | 339,15                 | 49,545               |
| 2,50  | 123,863                | 233,897                | 123,863              |
| 0     | 0                      | 0                      | 0                    |

Resistenza a taglio assumendo la cotg pari a 1,00

Resistenza a taglio

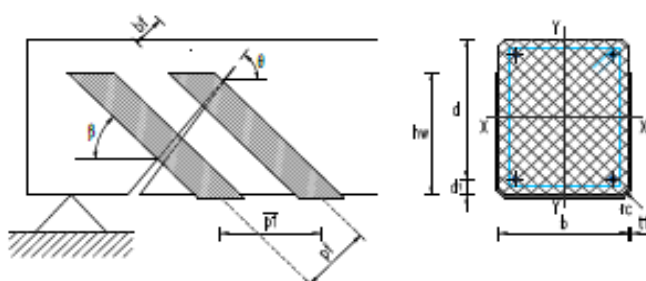
$$V_{Rd} = 49,55 \text{ kN}$$

Verifica:

$$V_{Rd} = 49,55 \text{ kN} > 34 \text{ kN}$$

La verifica è soddisfatta

### Resistenza a taglio della sezione rinforzata con FRP



Tipo di tessuto utilizzato: FB GV420U-HT020-RC02 (Classe 210C), da 1 a 3 strati

Valori assunti per il calcolo

Valori di classe

Altezza del rinforzo

$$h_w = 480$$

Coefficiente parziale di sicurezza (compreso tra 1,30 e 1,50)

$$\gamma_{f,d} = 1,2$$

Condizione di esposizione

n = esterna

Verrà impiegato un sistema protettivo dell'FRP?

n = SI

Tipologia di carico

ciclico

|  |                    |
|--|--------------------|
| Raggio di curvatura spigolo sezione rinforzata   | $r_c = 1$          |
| Passo degli strati di rinforzo   | $p_f = 330$        |
| Angolo di inclinazione delle fibre rispetto l'asse longitudinale                         | $\beta = 90^\circ$ |
| Larghezza del rinforzo $b_f$ ( $50 \text{ mm} \leq b_f \leq 250 \text{ mm}$ )            | Verificato         |
| Distanza tra le strisce $p_f$ ( $b_f \leq p_f \leq \min(0,5d; 3b_f; b_f+200\text{mm})$ ) | Verificato         |
| Controllo geometrico ( $\min(0,5d; 3b_f; b_f+200\text{mm}) \geq b_f$ )                   | Verificato         |

La resistenza di progetto a taglio dell'elemento rinforzato può essere valutata attraverso la seguente relazione:  
 $V_{Rd,inf} = \min \{ V_{Rd,s}, V_{Rd,f}, V_{Rd,c} \}$

|   |                                      |
|---|--------------------------------------|
| Energia specifica di frattura                               | $\Gamma_{fd} = 0,243 \text{ N/mm}^2$ |
| Tensione di progetto del rinforzo (distacco del primo modo) | $f_{sd} = 396,511 \text{ N/mm}^2$    |
| Resistenza di adesione rinforzo-calcestruzzo                | $f_{bd} = 0,322 \text{ N/mm}^2$      |
| Lunghezza ottimale di ancoraggio di progetto                | $l_{ed} = 200 \text{ mm}$            |
| Tensione efficace di calcolo                                | $f_{eff} = 341,44 \text{ N/mm}^2$    |
| Resistenza a taglio-trazione dell'armatura trasversale      | $V_{Rd,s} = 49,55 \text{ kN}$        |
| Resistenza a taglio-trazione del rinforzo in FRP            | $V_{Rd,f} = 92,887 \text{ kN}$       |
| Resistenza a taglio-compressione del calcestruzzo           | $V_{Rd,c} = 339,15 \text{ kN}$       |

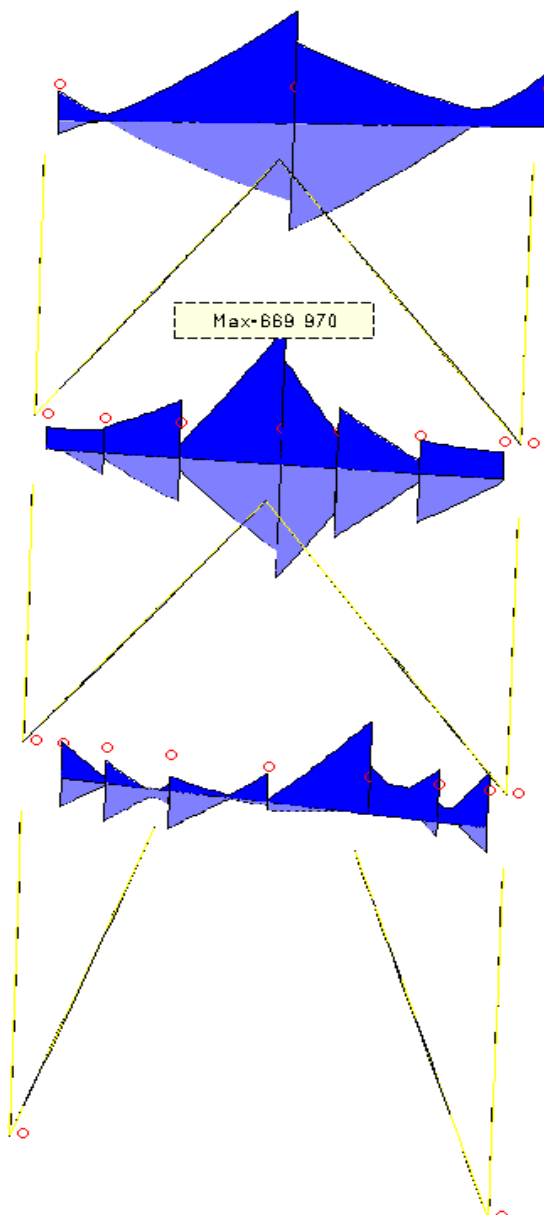
Applicare la limitazione di incremento della capacità di calcolo del 50%? Si  
 (vedi § 3.3.4. della CNR DT200 R1/2013)

Verifica:  $V_{Rd,inf} = 74,33 \text{ kN} > 34 \text{ kN}$

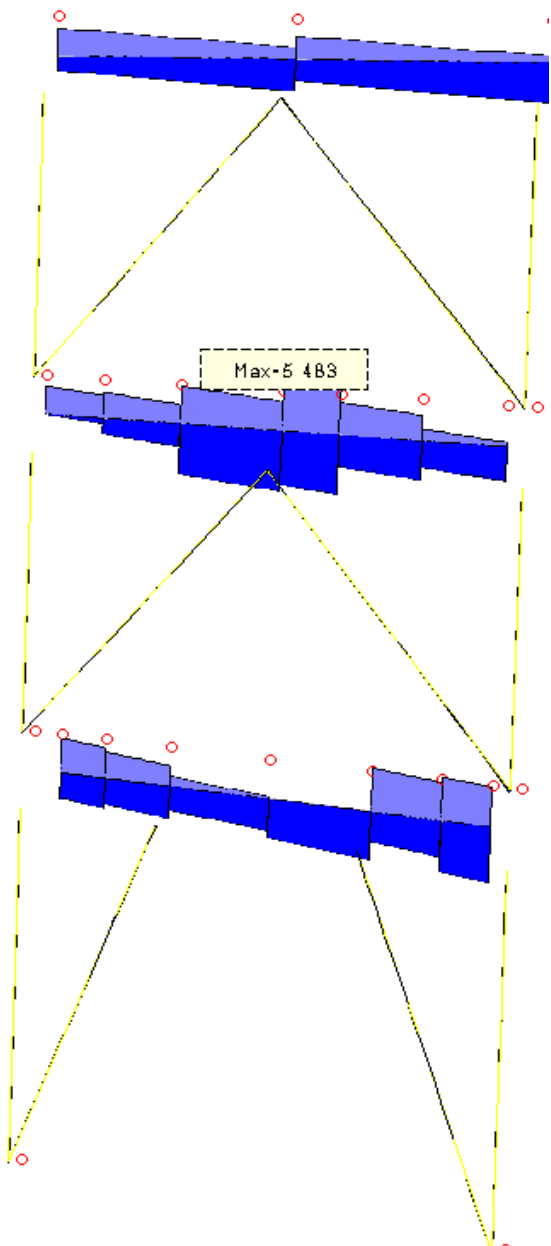
## CONTROVENTO OVEST

Dai tabulati , riportati in versione completa nel fascicolo dei calcoli, si evince come la trave quota piano primo necessiti di rinforzo a taglio; non serve il rinforzo per le travi piano terra e piano secondo.

MOMENTO FLETTENTE



TAGLIO



Di seguito si riportano solo i tabulati della trave piano primo che necessita di rinforzo a taglio.











21A 36 -14267 68 241 -356 221 236 4.02 4.02 4.02 4.02 4.02 6 0.08 0.09 0.97 0.00 0.00 --  
 21B 36 -14267 2002 241 -356 221 -1103 4.02 4.02 4.02 4.02 4.02 6 0.09 0.12 1.24 0.84 0.55 --  
 21C 36 -14267 68 -24 -356 -193 236 4.02 4.02 4.02 4.02 4.02 6 0.08 0.08 0.95 0.00 0.00 --  
 21D 36 -14267 2002 -24 -356 -193 -1103 4.02 4.02 4.02 4.02 4.02 6 0.09 0.12 1.24 0.84 0.55 --  
 21E 36 5109 68 241 -356 221 236 4.02 4.02 4.02 4.02 4.02 2 0.27 0.09 0.98 0.00 0.00 --  
 21F 36 5109 2002 241 -356 221 -1103 4.02 4.02 4.02 4.02 4.02 2 0.27 0.13 1.38 0.84 0.55 --  
 21G 36 5109 68 -24 -356 -193 236 4.02 4.02 4.02 4.02 4.02 1 0.25 0.08 0.95 0.00 0.00 --  
 21H 36 5109 2002 -24 -356 -193 -1103 4.02 4.02 4.02 4.02 4.02 1 0.27 0.13 1.38 0.84 0.55 --  
 21I 36 -17241 -249 275 -433 267 525 6.03 6.03 4.02 4.02 4.02 6 0.10 0.10 1.17 0.46 0.66 --  
 21J 36 -17241 2318 275 -433 267 -1116 6.03 6.03 4.02 4.02 4.02 6 0.10 0.15 1.47 0.97 0.66 --  
 21K 36 -17241 -249 -58 -433 -239 525 6.03 6.03 4.02 4.02 4.02 6 0.10 0.10 1.17 0.10 0.66 --  
 21L 36 -17241 2318 -58 -433 -239 -1116 6.03 6.03 4.02 4.02 4.02 6 0.10 0.15 1.47 0.97 0.66 --  
 21M 36 8083 -249 275 -433 267 525 6.03 6.03 4.02 4.02 4.02 1 0.38 0.10 1.19 0.46 0.66 --  
 21N 36 8083 2318 275 -433 267 -1116 6.03 6.03 4.02 4.02 4.02 1 0.38 0.15 1.65 0.97 0.66 --  
 21O 36 8083 -249 -58 -433 -239 525 6.03 6.03 4.02 4.02 4.02 1 0.37 0.10 1.19 0.10 0.66 --  
 21P 36 8083 2318 -58 -433 -239 -1116 6.03 6.03 4.02 4.02 4.02 1 0.37 0.15 1.65 0.97 0.66 --

apost= 2.01 aant= 2.01 ainf= -- asup= -- (e arm. base= 4 X 2.01) staffe= 2 d 8 / 33.0

1 73 -5074 719 118 -20 -21 -90 4.02 4.02 4.02 4.02 4.02 6 0.02 0.02 0.19 0.00 0.00 --  
 2 73 -5589 955 98 -53 11 -50 4.02 4.02 4.02 4.02 4.02 6 0.03 0.03 0.32 0.00 0.00 --  
 3 73 -5716 861 69 -99 51 -91 4.02 4.02 4.02 4.02 4.02 6 0.03 0.04 0.42 0.00 0.00 --  
 4 73 -6213 1046 185 40 -80 63 4.02 4.02 4.02 4.02 4.02 6 0.03 0.03 0.30 0.00 0.00 --  
 5 73 -5174 1112 134 17 -45 23 4.02 4.02 4.02 4.02 4.02 6 0.02 0.03 0.24 0.00 0.00 --  
 6 73 -6762 888 148 -39 -18 -143 4.02 4.02 4.02 4.02 4.02 6 0.03 0.03 0.26 0.00 0.00 --  
 7 73 -5763 853 69 -99 51 -97 4.02 4.02 4.02 4.02 4.02 6 0.03 0.04 0.42 0.00 0.00 --  
 8 73 -5546 958 136 -3 -35 -47 4.02 4.02 4.02 4.02 4.02 6 0.02 0.02 0.19 0.00 0.00 --  
 9 73 -5583 1027 137 3 -38 -31 4.02 4.02 4.02 4.02 4.02 6 0.02 0.02 0.20 0.00 0.00 --  
 19 73 -5070 753 118 -17 -23 -80 4.02 4.02 4.02 4.02 4.02 6 0.02 0.02 0.19 0.00 0.00 --  
 20 73 -5074 719 118 -20 -21 -90 4.02 4.02 4.02 4.02 4.02 6 0.02 0.02 0.19 0.00 0.00 --  
 21A 73 -14267 -181 241 -356 147 895 4.02 4.02 4.02 4.02 4.02 6 0.08 0.09 0.97 0.00 0.00 --  
 21B 73 -14267 1752 241 -356 147 -842 4.02 4.02 4.02 4.02 4.02 6 0.08 0.12 1.20 0.74 0.55 --  
 21C 73 -14267 -181 -24 -356 -197 895 4.02 4.02 4.02 4.02 4.02 6 0.08 0.08 0.96 0.00 0.00 --  
 21D 73 -14267 1752 -24 -356 -197 -842 4.02 4.02 4.02 4.02 4.02 6 0.08 0.12 1.20 0.74 0.55 --  
 21E 73 5109 -181 241 -356 147 895 4.02 4.02 4.02 4.02 4.02 1 0.25 0.09 0.98 0.00 0.00 --  
 21F 73 5109 1752 241 -356 147 -842 4.02 4.02 4.02 4.02 4.02 1 0.24 0.12 1.32 0.74 0.55 --  
 21G 73 5109 -181 -24 -356 -197 895 4.02 4.02 4.02 4.02 4.02 1 0.25 0.08 0.97 0.00 0.00 --  
 21H 73 5109 1752 -24 -356 -197 -842 4.02 4.02 4.02 4.02 4.02 1 0.25 0.12 1.32 0.74 0.55 --  
 21I 73 -17241 -498 275 -433 174 1053 6.03 6.03 4.02 4.02 4.02 6 0.10 0.11 1.21 0.46 0.66 --  
 21J 73 -17241 2069 275 -433 174 -1135 6.03 6.03 4.02 4.02 4.02 6 0.10 0.14 1.44 0.87 0.66 --  
 21K 73 -17241 -498 -58 -433 -224 1053 6.03 6.03 4.02 4.02 4.02 6 0.10 0.11 1.21 0.21 0.66 --  
 21L 73 -17241 2069 -58 -433 -224 -1135 6.03 6.03 4.02 4.02 4.02 6 0.10 0.14 1.44 0.87 0.66 --  
 21M 73 8083 -498 275 -433 174 1053 6.03 6.03 4.02 4.02 4.02 1 0.36 0.11 1.24 0.46 0.66 --  
 21N 73 8083 2069 275 -433 174 -1135 6.03 6.03 4.02 4.02 4.02 1 0.36 0.15 1.60 0.87 0.66 --  
 21O 73 8083 -498 -58 -433 -224 1053 6.03 6.03 4.02 4.02 4.02 1 0.36 0.11 1.24 0.21 0.66 --  
 21P 73 8083 2069 -58 -433 -224 -1135 6.03 6.03 4.02 4.02 4.02 1 0.36 0.15 1.60 0.87 0.66 --

apost= 2.01 aant= 2.01 ainf= -- asup= -- (e arm. base= 4 X 2.01) staffe= 2 d 8 / 33.0

## PROGETTO DEL SISTEMA DI RINFORZO TRAVE RICALATA P.1° OVEST

### Rinforzo a taglio

#### Caratteristiche dei materiali

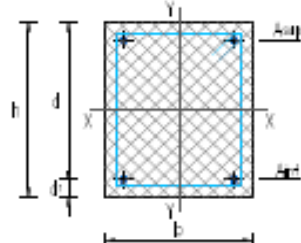
|   |                                     |
|---|-------------------------------------|
| Livello di conoscenza                                 | LC2                                 |
| Fattore di confidenza                                 | FC = 1,2                            |
| <b>Calcestruzzo</b>                                   |                                     |
| Resistenza cilindrica del calcestruzzo                | $f_c = 28 \text{ MPa}$              |
| Il valore di resistenza inserito è un                 | <b>Valore medio</b>                 |
| Resistenza cilindrica media del calcestruzzo          | $f_{cm} = 28 \text{ MPa}$           |
| Resistenza cilindrica caratteristica del calcestruzzo | $f_{ck} = 20 \text{ MPa}$           |
| Resistenza media a trazione del calcestruzzo          | $f_{dm} = 2,21 \text{ MPa}$         |
| Modulo di elasticità normale                          | $E_{cn} = 29961,951 \text{ MPa}$    |
| Deformazione di riferimento del calcestruzzo          | $\epsilon_{cr} = 0,002 \text{ MPa}$ |
| Deformazione ultima del calcestruzzo                  | $\epsilon_{cu} = 0,004 \text{ MPa}$ |
| Coefficiente di sicurezza                             | $\gamma_c = 1,5 \text{ MPa}$        |
| Resistenza di progetto del calcestruzzo               | $f_{cd} = 9,444 \text{ MPa}$        |

#### Acciaio

|  |                                     |
|--|-------------------------------------|
| Resistenza caratteristica a snervamento dell'acciaio | $f_{yk} = 375 \text{ MPa}$          |
| Resistenza caratteristica a rottura dell'acciaio     | $f_{uk} = 451 \text{ MPa}$          |
| Modulo di elasticità normale                         | $E_s = 206000 \text{ MPa}$          |
| Deformazione di progetto dell'acciaio                | $\epsilon_{yd} = 0,001 \text{ MPa}$ |
| Deformazione a rottura dell'acciaio                  | $\epsilon_u = 0,068 \text{ MPa}$    |
| Coefficiente di sicurezza                            | $\gamma_c = 1,15 \text{ MPa}$       |
| Resistenza di progetto a snervamento dell'acciaio    | $f_{yd} = 271,739 \text{ MPa}$      |

#### Caratteristiche geometriche della sezione

|                       |                       |
|-----------------------|-----------------------|
| Base della sezione    | $b = 200 \text{ mm}$  |
| Altezza della sezione | $h = 700 \text{ mm}$  |
| Copriferro            | $d_l = 35 \text{ mm}$ |
| Altezza utile         | $d = 665 \text{ mm}$  |



Geometria delle armature:

|                    | n. barre   | $\phi \text{ [mm]}$ | $A_{sl,up} \text{ [mm}^2]$ | $A_{sl,inf} \text{ [mm}^2]$ |
|--------------------|------------|---------------------|----------------------------|-----------------------------|
| Armatura superiore | 3          | 16                  | 603,186                    |                             |
|                    | -          | -                   |                            |                             |
| Armatura inferiore | 3          | 16                  |                            | 603,186                     |
|                    | 0          | 0                   |                            |                             |
|                    | n. braccia | $\phi \text{ [mm]}$ | $\phi \text{ [mm]}$        | $A_{sl,up} \text{ [mm}^2]$  |
| Staffe             | 2          | 8                   | 330                        | 100,531                     |
|                    |            |                     |                            | 0,305                       |

#### Sollecitazioni

|                     |                           |
|---------------------|---------------------------|
| Taglio sollecitante | $V_{Ed} = 54 \text{ kN}$  |
| Sforzo normale      | $N_{Ed} = 235 \text{ kN}$ |

### Resistenza a taglio della sezione non rinforzata

Resistenza a taglio della sezione senza armature trasversali resistenti a taglio

Area di calcestruzzo

$$A_c = 140000 \text{ mm}^2$$

Rapp. geom. Armatura longitudinale

$$\rho_l = 0,005$$

Asl=Ainf

Resistenza a taglio

$$\sigma_{cp} = 86,18 \text{ kN}$$

Verifica:

$$V_{Rd,c} = 86,18 \text{ kN} > 54 \text{ kN}$$

La verifica è soddisfatta

Resistenza a taglio della sezione con armature trasversali resistenti a taglio

Angolo d'inclinazione delle staffe

$$\alpha = 90^\circ$$

Calcolo della resistenza a taglio per diversi valori della  $\cotg \theta_{resc}$ :

| $\cotg \theta$ | $V_{Rd,p} [\text{kN}]$ | $V_{Rd,c} [\text{kN}]$ | $V_{Rd} [\text{kN}]$ |
|----------------|------------------------|------------------------|----------------------|
| 1,00           | 49,545                 | 339,15                 | 49,545               |
| 2,50           | 123,863                | 233,897                | 123,863              |
| 0              | 0                      | 0                      | 0                    |

Resistenza a taglio assumendo la cotg pari a 1,00

Resistenza a taglio

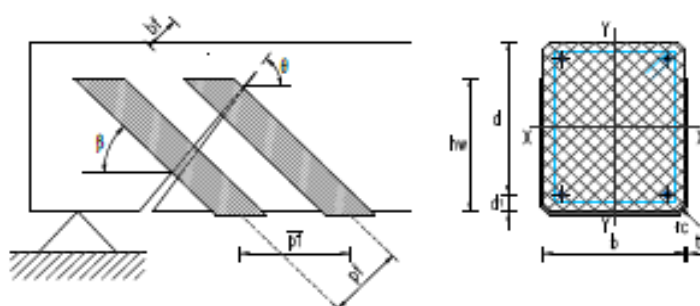
$$V_{Rd} = 49,55 \text{ kN}$$

Verifica:

$$V_{Rd} = 49,55 \text{ kN} < 54 \text{ kN}$$

La verifica non è soddisfatta; Inserire rinforzo

### Resistenza a taglio della sezione rinforzata con FRP



Tipo di tessuto utilizzato: FB GV420U-HT020-RC02 (Classe 210C), da 1 a 3 strati

Valori assunti per il calcolo

Valori di classe

Altezza del rinforzo

$$h_w = 480$$

Coefficiente parziale di sicurezza (compreso tra 1,30 e 1,50)

$$\gamma_{t,d} = 1,2$$

Condizione di esposizione

n = esterna

Verrà impiegato un sistema protettivo dell'FRP?

n = SI

Tipologia di carico

ciclico

|   |                    |
|---|--------------------|
| Raggio di curvatura spigolo sezione rinforzata  | $r_c = 1$          |
| Passo degli strati di rinforzo  | $p_f = 330$        |
| Angolo di inclinazione delle fibre rispetto l'asse longitudinale                            | $\beta = 90^\circ$ |
| Larghezza del rinforzo $b_f$ ( $50 \text{ mm} \leq b_f \leq 250 \text{ mm}$ )               | <b>Verificato</b>  |
| Distanza tra le strisce $p_f$ ( $b_f \leq p_f \leq \min \{0,5d; 3b_f; b_f+200\text{mm}\}$ ) | <b>Verificato</b>  |
| Controllo geometrico ( $\min \{0,5d; 3b_f; b_f+200\text{mm}\} \geq b_f$ )                   | <b>Verificato</b>  |

La resistenza di progetto a taglio dell'elemento rinforzato può essere valutata attraverso la seguente relazione:  
 $V_{Rd,inf} = \min \{ V_{Rd,s} + V_{Rd,f}, V_{Rd,c} \}$

|   |                                      |
|---|--------------------------------------|
| Energia specifica di frattura                               | $\Gamma_{fa} = 0,243 \text{ N/mm}^2$ |
| Tensione di progetto del rinforzo (distacco del primo modo) | $f_{sd} = 396,511 \text{ N/mm}^2$    |
| Resistenza di adesione rinforzo-calcestruzzo                | $f_{bd} = 0,322 \text{ N/mm}^2$      |
| Lunghezza ottimale di ancoraggio di progetto                | $l_{ed} = 200 \text{ mm}$            |
| Tensione efficace di calcolo                                | $f_{ed} = 341,44 \text{ N/mm}^2$     |

Resistenza a taglio-trazione dell'armatura trasversale  $V_{Rd,s} = 49,55 \text{ kN}$

Resistenza a taglio-trazione del rinforzo in FRP  $V_{Rd,f} = 92,887 \text{ kN}$   
 Resistenza a taglio-compressione del calcestruzzo  $V_{Rd,c} = 339,15 \text{ kN}$

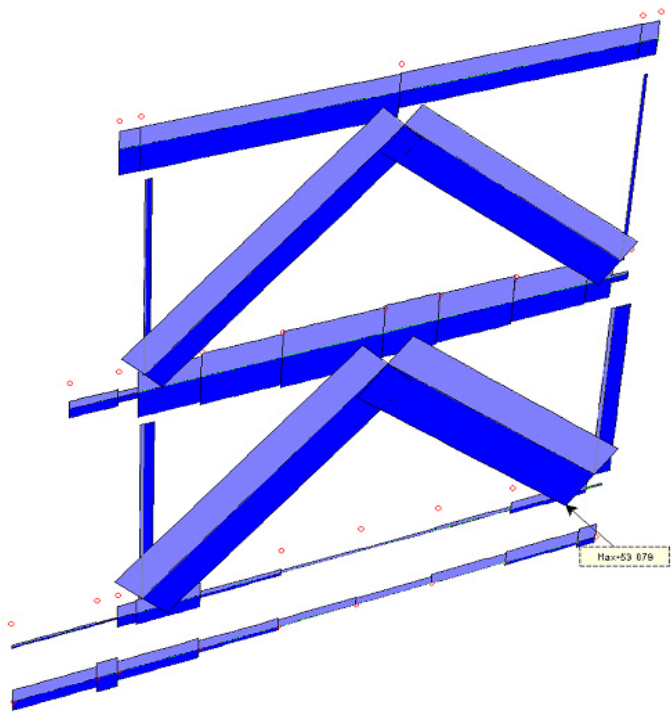
Applicare la limitazione di incremento della capacità di calcolo del 50%? **Si**  
 (vedi § 3.3.4. della CNR DT200 R1/2013)

Verifica:  $V_{Rd,inf} = 74,33 \text{ kN} > 54 \text{ kN}$

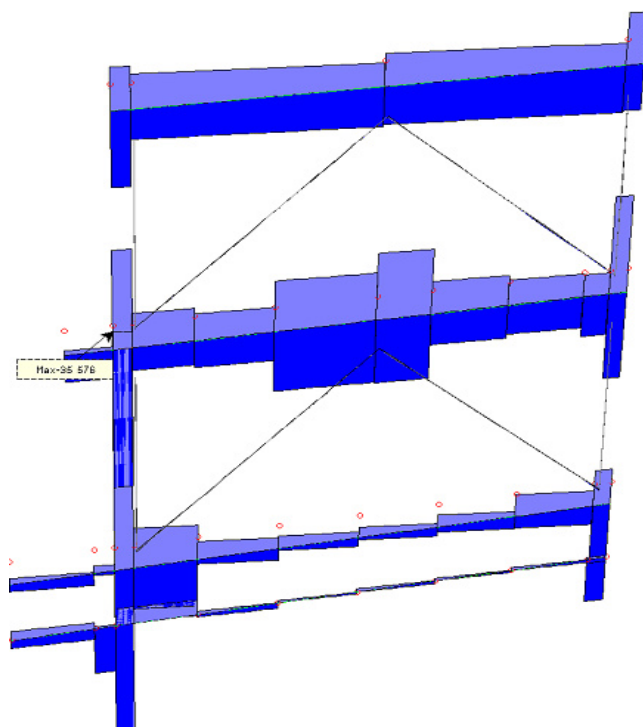
## CONTROVENTO SUD

Dal tabulato si evince come in alcune delle combinazioni di carico sismiche, ovvero quelle in cui la trave è soggetta a trazione, la trave del piano primo "va in crisi" per pressoflessione perché l'armatura longitudinale presente nella trave non è sufficiente, e per taglio perchè il passo delle staffe verticali non è idoneo; il rinforzo a flessione è previsto mediante incollaggio di tessuti in fibra di carbonio con resina impregnante epossidica, sia al lembo inferiore che a quello superiore; il rinforzo a taglio mediante incollaggio degli stessi tessuti in diagonale ed ad U (vedi risultati delle verifiche):

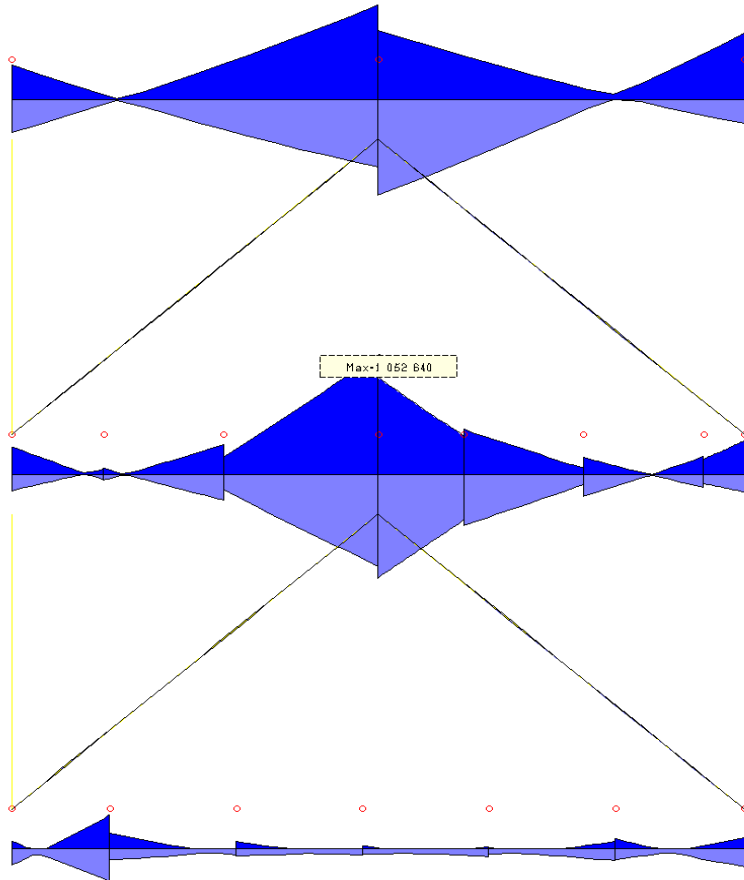
SFORZO NORMALE (TRAVI IN CLS E RITTI E DIAGONALI IN ACCIAIO)



TAGLIO (TRAVI IN CLS E RITTI E DIAGONALI IN ACCIAIO)



## MOMENTO FLETTENTE (TRAVI IN CLS)



Di seguito si riporta un estratto del tabulato della verifica SLU della trave del piano primo; per brevità si riportano solo i risultati delle aste di metà travata; per il piano primo si vede come in caso di sforzo normale di trazione (come nelle combinazioni di carico sismiche evidenziate in rosso) l'armatura longitudinale non sia sufficiente; l'armatura della trave è composta (da progetto della costruzione e dai rilievi fatti in sede di verifica sismica) da 3 barre D16 inferiori (6,03mcq), 3 barre D16 superiori (6,03mcq), 3 barre D16 posteriori (6,03mcq) e 3 barre D16 anteriori (6,03mcq); l'armatura *base* della tabella di verifica è, invece, in tutti i lati della sezione impostata pari a 2D16 (4,02 cmq) ma è chiaro che siamo in caso di sottodimensionamento quando l'armatura necessaria alla verifica (indicata nelle specifiche colonne del tabulato) supera l'area di 6,03 cmq. Come detto la travata necessita di rinforzo nella parte centrale (aste 213 e 214), non agli estremi.

Per il taglio serve il rinforzo laddove il passo necessario delle staffe risulta, da tabulato, inferiore a circa 30cm.











## **PROGETTO DEL SISTEMA DI RINFORZO TRAVE RICALATA P.1° SUD**

E' necessario un rinforzo a pressoflessione ed a taglio ed è previsto, come già scritto, attraverso placcaggio fibrorinforzato della trave, ovvero incollaggio di tessuti in fibra di carbonio, FRP, mediante resina impregnante epossidica; nel caso in oggetto è stato ipotizzato l'uso del sistema prodotto dotato di Certificato di Valutazione Tecnica ai sensi del capitolo 11 punto 11.1 lett c) delle NTC2018 ed attraverso l'apposito software di calcolo si è determinata la tipologia, la larghezza e la quantità di strati di tessuto sufficiente ad ottenere la verifica della sezione nella combinazione di Momento Mz e Sforzo normale Fx più gravosa (rinforzo a flessione) ed in quella di taglio e sforzo normale più gravosa (rinforzo a taglio).

Come indicato nel disegno esecutivo il sistema si compone di :

- tessuti unidirezionali ad alta tenacità con peso della fibra di carbonio di 400 gr/mc e caratteristiche meccaniche sotto riportate in un estratto della scheda tecnica;
- resina impregnante epossidica;
- connettore tipo Ardfix (barra di carbonio) M8, con resina epossidica tissotropica e fasce a 45° larghezza 5m

Per le caratteristiche dei materiali previsti si rimanda alla relazione sui materiali.

Di seguito si riportano i risultati delle verifiche eseguite sulla trave ricalata in oggetto, a pressoflessione, secondo la combinazione più sfavorevole di Momento e Sforzo Normale, ed a taglio per la combinazione più sfavorevole di taglio.

## RINFORZO A PRESSOFLESSIONE

Si riporta di seguito il calcolo per la valutazione del rinforzo a pressoflessione di un elemento in calcestruzzo armato con sezione rettangolare mediante l'uso di materiali compositi FRP. La presente relazione riporta le caratteristiche della sezione, le proprietà scelte per i materiali, la verifica allo stato limite ultimo per flessione retta e la verifica allo stato limite di esercizio per le tensioni.

### Normative di riferimento assunte per il calcolo

Il calcolo è redatto in conformità alle indicazioni delle Norme Tecniche per le costruzioni (NTC2018), integrate dalla Circolare applicativa del 2009, e delle linee guida CNR-DT 200R1/2013 "Istruzioni per la progettazione, l'esecuzione e il controllo di interventi di consolidamento statico mediante l'uso di compositi fibrorinforzati".

### Caratteristiche geometriche della sezione

Base maggiore (B): 200 mm

Altezza totale (H): 700 mm

### Caratteristiche dei materiali

|   | <i>d<sub>s</sub> [mm]</i> | <i>N. Barre</i> | <i>φ [mm]</i> | <i>As [mm<sup>2</sup>]</i> |
|---|---------------------------|-----------------|---------------|----------------------------|
|   | 35                        | 3               | 16            | 603                        |
| Geometria delle armature                    | 350                       | 2               | 16            | 402                        |
|   | 665                       | 3               | 16            | 603                        |
| Coprifero di calcolo superiore (delta_sup): |                           | 35 mm           |               |                            |
| Coprifero di calcolo inferiore (delta_inf): |                           | 35 mm           |               |                            |

### Caratteristiche geometriche del rinforzo a flessione

Tipo di rinforzo in FRP scelto a flessione: Tessuti

Tipo di fibra del rinforzo: Fibra di Carbonio

Resistenza media a trazione: Valori di Classe

|              | <i>Disposizione degli elementi in FRP</i>           | <i>d<sub>FRP</sub> [mm]</i> | <i>n. strati</i> | <i>bf [mm]</i> | <i>tf [mm]</i> | <i>A<sub>f</sub> [mm<sup>2</sup>]</i> | <i>n. fasce affiancate</i> |
|--------------|---|-----------------------------|------------------|----------------|----------------|---------------------------------------|----------------------------|
| Elemento sup | FB GV420U-HT020-RC02 (Classe 210C), da 1 a 3 strati | 0                           | 3                | 200            | 0,225          | 135                                   | 1                          |
| Elemento inf | FB GV420U-HT020-RC02 (Classe 210C), da 1 a 3 strati | 700                         | 3                | 200            | 0,225          | 135                                   | 1                          |

### Caratteristiche dei materiali

Nel presente paragrafo sono riportate le proprietà dei materiali scelti per il calcolo. Le resistenze di progetto di calcestruzzo e acciaio sono state divise per un opportuno fattore di confidenza, valutato sulla base del livello di conoscenza raggiunto.

Livello di conoscenza:

Fattore di confidenza adottato: 1,2

### Calcestruzzo

|   |                         |
|---|-------------------------|
| Resistenza cilindrica (stimata o da prove) ( <i>f<sub>c</sub></i> ):    | 28 N/mm <sup>2</sup>    |
| Resistenza cilindrica media ( <i>f<sub>cm</sub></i> ):                  | 28 N/mm <sup>2</sup>    |
| Resistenza media a trazione ( <i>f<sub>ctm</sub></i> ):                 | 2,21 N/mm <sup>2</sup>  |
| Modulo di elasticità normale ( <i>E<sub>cm</sub></i> ):                 | 29962 N/mm <sup>2</sup> |
| Deformazione di riferimento del calcestruzzo ( <i>ε<sub>c2</sub></i> ): | 0,002                   |
| Deformazione ultima del calcestruzzo ( <i>ε<sub>cu</sub></i> ):         | 0,0035                  |
| Coefficiente di sicurezza ( <i>γ<sub>c</sub></i> ):                     | 1,5                     |
| Resistenza di progetto ( <i>f<sub>cd</sub></i> ):                       | 9,44 N/mm <sup>2</sup>  |

## **Acciaio**

|  |                          |
|--|--------------------------|
| Resistenza caratteristica a snervamento ( $f_{yk}$ ):      | 375 N/mm <sup>2</sup>    |
| Resistenza caratteristica a rottura ( $f_{tk}$ ):          | 451 N/mm <sup>2</sup>    |
| Modulo di elasticità normale ( $E_s$ ):                    | 206000 N/mm <sup>2</sup> |
| Deformazione di progetto dell'acciaio ( $\epsilon_{yd}$ ): | 0,0013                   |
| Deformazione a rottura dell'acciaio ( $\epsilon_u$ ):      | 0,0675                   |
| Coefficiente di sicurezza ( $\gamma_s$ ):                  | 1,15                     |
| Resistenza di progetto a snervamento ( $f_{yd}$ ):         | 272 N/mm <sup>2</sup>    |

## **Rinforzo FRP a flessione**

Il rinforzo scelto a flessione è costituito da Tessuti in Fibra di Carbonio dalle seguenti caratteristiche geometriche e meccaniche. La condizione di esposizione considerata è esterna. Il tipo di carico è ciclico.

|  |                          |
|--|--------------------------|
| Condizione di esposizione:                                       | esterna                  |
| Tipologia di carico:   | ciclico                  |
| Resistenza caratteristica del rinforzo ( $f_{fk}$ ):             | 2700 N/mm <sup>2</sup>   |
| Modulo di elasticità normale del rinforzo ( $E_f$ ):             | 210000 N/mm <sup>2</sup> |
| Allungamento a rottura della fibra ( $\epsilon_f$ ):             | 0,0129                   |
| Fattore di conversione ambientale ( $\eta_a$ ):                  | 0,85                     |
| Fattore di conversione effetti di lunga durata ( $\eta_l$ ):     | 0,5                      |
| Coefficiente parziale di sicurezza del materiale ( $\gamma_f$ ): | 1,1                      |

Negli interventi di rinforzo con FRP l'aderenza tra il calcestruzzo e il composito assume grande importanza, in quanto il meccanismo di rottura per distacco dal supporto è di tipo fragile. Il distacco dei rinforzi a flessione può verificarsi secondo diverse modalità, ma i più frequenti sono il distacco d'estremità e il distacco intermedio, causato dalle fessure per flessione nella trave. Nel seguito si considereranno solo queste due modalità, in quanto le altre modalità di collasso fragile possono essere mitigate seguendo le indicazioni del paragrafo 4.8 della CNR 200R1/2013 sulle condizioni del substrato e la preparazione del supporto.

|   |                           |
|---|---------------------------|
| Tipologia di carico applicato:  | Uniformemente distribuito |
| Coefficiente correttivo di tipo sperimentale ( $K_g$ ):                           | 0,037 mm                  |
| Coefficiente parziale del materiale per distacco dal supporto ( $\gamma_{f,d}$ ): | 1,2                       |
| Coefficiente correttivo di tipo geometrico ( $K_b$ ):                             | 1                         |
| Energia specifica di frattura ( $\Gamma_f$ ):                                     | 0,243 N/mm <sup>2</sup>   |
| Tensione di aderenza di progetto ( $f_{bd}$ ):                                    | 1,94 N/mm <sup>2</sup>    |

La lunghezza di ancoraggio ottimale del rinforzo è pari alla lunghezza necessaria ad assicurare la trasmissione del massimo sforzo di aderenza. Nel caso di lunghezze di ancoraggio inferiori a quella ottimale la tensione limite nel rinforzo per evitare il distacco di estremità (1° modo) deve essere opportunamente ridotta.

Lunghezza ottimale di ancoraggio di progetto ( $l_{ed}$ ): 169,8 mm

Lunghezza effettiva di ancoraggio ( $l_b$ ): 200 mm

Le tensioni massime di progetto per il composito, necessarie a evitare il distacco dal supporto, sono le seguenti.

Tensione di progetto del rinforzo (distacco del 1° modo) ( $f_{fd,1}$ ): 323,8 N/mm<sup>2</sup>

Tensione di progetto del rinforzo (distacco del 2° modo) ( $f_{fd,2}$ ): 665,3 N/mm<sup>2</sup>

Disporre elementi di ancoraggio all'estremità: Si

Tipologia di ancoraggio all'estremità: Ardfix

Altezza del tessuto (H): 700 mm

Larghezza del tessuto ( $b_f$ ): 200 mm

Passo del tessuto ( $p_f$ ): 300 mm

Lunghezza connettore ARDFIX ( $h_{ARDFIX}$ ): 467 mm

Diametro del connettore ( $\Phi_{ARDFIX}$ ): 8 mm

Tensione di progetto ridotta in funzione di  $l_b$ : 665,3 N/mm<sup>2</sup>

Il valore  $f_{fd,2}$  rappresenta la massima tensione applicabile sul rinforzo per non avere distacchi intermedi, mentre il

valore  $f_{fdd,rid}$  rappresenta il valore di tensione che determina il distacco d'estremità. Il primo valore non può essere superato per tutto lo sviluppo del rinforzo, mentre il secondo valore non può essere superato ad una distanza dall'estremo del rinforzo inferiore o uguale alla lunghezza effettiva di ancoraggio  $l_b$ .

Nel caso in esame, il rinforzo a confinamento non è presente e si considera la possibilità di distacco intermedio. Si considera comunque la presenza di un tessuto trasversale all'estremità del rinforzo longitudinale, per prevenire il distacco d'estremità.

Deformazione limite del composito per distacco dal supporto ( $\varepsilon_{fdd}$ ): 0,0032

Deformazione di progetto del rinforzo ( $\varepsilon_{fd}$ ): 0,0032

### **Sollecitazioni di calcolo**

Nel presente paragrafo sono riportate le sollecitazioni agenti sulla sezione per le combinazioni quasi permanente, rara e allo stato limite ultimo. È riportata anche la sollecitazione flettente presente all'atto dell'applicazione del rinforzo, necessaria a valutare lo stato deformativo della struttura. I valori indicati sono positivi nel caso di fibre tese inferiori. Lo sforzo assiale è positivo nel caso di trazione.

Carico assiale sollecitante per la combinazione SLU ( $N_{ed}$ ): 314 kN

Momento flettente sollecitante per la combinazione SLU ( $M_{ed}$ ): 92 kNm

### **Caratteristiche della sezione confinata**

Il confinamento dell'elemento in c.a. consente di migliorare le prestazioni dell'elemento strutturale, incrementando la resistenza e la deformazione ultima a compressione. Di seguito è riportato il calcolo delle caratteristiche del calcestruzzo rinforzato a confinamento secondo la geometria riportata in precedenza.

Resistenza di progetto del calcestruzzo ( $f_{cd}$ ): 9,44 N/mm<sup>2</sup>

Deformazione ultima del calcestruzzo ( $\varepsilon_{cu}$ ): 0,0035

Deformazione ultima a rottura per il confinamento ( $\varepsilon_{f,rid}$ ): 0

Resistenza del calcestruzzo confinato ( $f_{ccd}$ ): 9,44

Incremento di resistenza del calcestruzzo confinato: 1

Deformazione ultima del calcestruzzo confinato ( $\varepsilon_{ccd}$ ): 0,0035

### **Verifiche a flessione della sezione non rinforzata**

Di seguito sono riportate le verifiche a flessione retta per la sezione considerata in assenza del rinforzo. La verifica viene effettuata secondo le usuali ipotesi di conservazione delle sezioni piane, perfetta aderenza tra i materiali componenti, resistenza a trazione nulla del calcestruzzo e legami costitutivi di calcestruzzo e acciaio conformi alla normativa vigente.

Posizione dell'asse neutro dal bordo superiore ( $X^+$ ): 28,6 mm

Deformazione al lembo superiore ( $\varepsilon_{sup}$ ): -3,03 %

Deformazione sull'armatura inferiore ( $\varepsilon_{inf}$ ): 67,5 %

Momento resistente della sezione ( $M_{Rd}^+$ ): 39,75 kNm

Posizione dell'asse neutro dal bordo inferiore ( $X^-$ ): 28,6 mm

Deformazione sull'armatura superiore ( $\varepsilon_{sup}$ ): 67,5 %

Deformazione al lembo inferiore ( $\varepsilon_{inf}$ ): -3,03 %

Momento resistente della sezione ( $M_{Rd}^-$ ): -39,75 kNm

La verifica non è soddisfatta. Risulta necessario inserire il rinforzo.

### **Verifiche a flessione della sezione rinforzata**

Di seguito sono riportate le verifiche a flessione retta per la sezione considerata in presenza del rinforzo. La verifica viene effettuata secondo le ipotesi descritte in precedenza, ipotizzando per l'FRP un comportamento elastico lineare fino a rottura.

Per il calcolo del momento resistente si ipotizza che la rottura possa avvenire o al raggiungimento della massima deformazione plastica nel calcestruzzo compresso,  $\varepsilon_{cu}$ , o al raggiungimento della massima deformazione a rottura  $\varepsilon_{fd}$  nel rinforzo in FRP.

Poichè l'elemento non è confinato le proprietà scelte per il calcestruzzo sono quelle di base del materiale.

Coefficiente di sicurezza per il rinforzo a flessione ( $\gamma_{Rd}$ ): 1,1

|   |            |
|---|------------|
| Posizione dell'asse neutro dal bordo superiore ( $X_+$ ):                         | 74 mm      |
| Deformazione al lembo superiore ( $\epsilon_{\text{sup}}$ ):                      | -0,37 %    |
| Deformazione al lembo inferiore ( $\epsilon_{\text{inf}}$ ):                      | 3,17 %     |
| Momento resistente positivo della sezione rinforzata ( $M_{Rd}^+ \text{ rinf}$ ): | 89,76 kNm  |
| Incremento di resistenza momento positivo:  | 2,26       |
| Posizione dell'asse neutro dal bordo inferiore ( $X^-$ ):                         | 74 mm      |
| Deformazione al lembo superiore ( $\epsilon_{\text{sup}}$ ):                      | 3,17 %     |
| Deformazione al lembo inferiore ( $\epsilon_{\text{inf}}$ ):                      | -0,37 %    |
| Momento resistente negativo della sezione rinforzata ( $M_{Rd}^- \text{ rinf}$ ): | -89,76 kNm |
| Incremento di resistenza momento negativo:  | 2,26       |

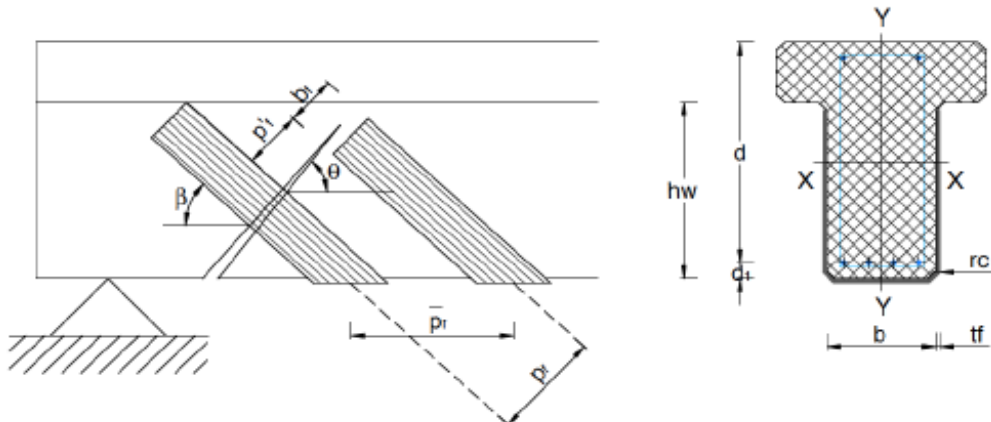
L'incremento di resistenza della sezione è superiore al limite di 1.5 volte imposto al punto 3.3.4 della CNR-DT 200R1/2013. Questo limite può essere trascurato in presenza di azioni eccezionali o sismiche, altrimenti deve di norma essere tenuto in conto.

#### Riepilogo verifiche

|                              | <i>Momento sollecitante</i> | <i>Momento ultimo pos.</i> | <i>Momento ultimo neg.</i> | <i>Fattore di utilizzo</i> | <i>Incremento di resist. pos.</i> | <i>Incremento di resist. neg.</i> |
|------------------------------|-----------------------------|----------------------------|----------------------------|----------------------------|-----------------------------------|-----------------------------------|
| Sezione non rinforzata [kNm] | 92                          | 39,75                      | -39,75                     | 2,31                       | —                                 | —                                 |
| Sezione rinforzata [kNm]     |                             | 89,76                      | -89,76                     | 1,02                       | 2,26                              | 2,26                              |

---

## Rinforzo a taglio



### SOLLECITAZIONI

|                                   |        |
|-----------------------------------|--------|
| Taglio sollecitante ( $V_{Ed}$ ): | 77 kN  |
| Sforzo normale ( $N_{Ed}$ ):      | 314 kN |

### RESISTENZA A TAGLIO DELLA SEZIONE NON RINFORZATA

Resistenza a taglio della sezione senza armature trasversali resistenti a taglio

|  |                             |
|--|-----------------------------|
| Coefficiente $k$ ( $k$ ):                                    | 1,548 N/mm <sup>2</sup>     |
| Coefficiente $v_{min}$ ( $v_{min}$ ):                        | 0,275 (1/mm) <sup>1/2</sup> |
| Area di calcestruzzo ( $A_c$ ):                              | 140000 mm <sup>2</sup>      |
| Rapp. geom. armatura longitudinale ( $\rho_l$ ):             | 0,0045                      |
| Tensione media di compressione nella sezione ( $\sigma_c$ ): | 1,89 N/mm <sup>2</sup>      |

Resistenza a taglio senza armatura:  $V_{Rd,c} = 86,18 \text{ kN} > V_{Ed} = 77 \text{ kN}$

La verifica è soddisfatta

Resistenza a taglio della sezione con armature trasversali resistenti a taglio

|  |        |
|--|--------|
| Angolo d'inclinazione delle armature a taglio ( $\alpha$ ):              | 90 °   |
| Coefficiente maggiorativo $a_c$ ( $a_c$ ):                               | 1,2    |
| Angolo d'inclinazione delle bielle di calcestruzzo ( $\theta_{reale}$ ): | 15,7 ° |
| ( $\cot \theta_{reale}$ ):   | 3,56   |

| $\cot \theta$ | $V_{Rd,s}$ [kN] | $V_{Rd,c}$ [kN] | $V_{Rd}$ [kN] |
|---------------|-----------------|-----------------|---------------|
| 1             | 49,55           | 339,15          | 49,55         |
| 2,5           | 123,86          | 233,9           | 123,86        |
| 0             | 0               | 0               | 0             |

Resistenza a taglio:  $V_{Rd,c} = 49,55 \text{ kN} < V_{Ed} = 77$

La verifica non è soddisfatta; inserire rinforzo

## RESISTENZA A TAGLIO DELLA SEZIONE RINFORZATA CON FRP

Caratteristiche geometriche e meccaniche del rinforzo in tessuti in FRP

|   |  |
|---|--|
| Tipo di tessuto utilizzato:   | FB GV420U-HT020-RC02 (Classe 210C),<br>da 1 a 3 strati |
| Valori da assumere per il calcolo:  | Valori di classe                                       |
| Numero di strati di rinforzo:   | 2  |
| Altezza del rinforzo ( $h_w$ ):   | 480 mm   |
| Larghezza del nastro ( $b_f$ ):   | 200 mm   |
| Area resistente ( $A_f$ ):  | 90 mm <sup>2</sup>                                     |
| Spessore del sistema di rinforzo ( $t_f$ ):   | 0,45 mm  |
| Tensione di rottura a trazione del nastro ( $f_{fk}$ ):                               | 2700 N/mm <sup>2</sup>                                 |
| Modulo elastico a trazione del nastro ( $E_f$ ):                                      | 210000 N/mm <sup>2</sup>                               |
| Allungamento ( $\epsilon_{fk}$ ):   | 0,0129 %   |
| Coefficiente parziale di sicurezza (compreso tra 1,20 e 1,50) ( $\gamma_{f,d}$ ):     | 1,2  |
| Condizione di esposizione:  | esterna  |
| Verrà impiegato un rivestimento protettivo dell'FRP?                                  | True   |
| Fattore di conversione ambientale (Tabella 3-2) ( $\eta_a$ ):                         | 0,935  |
| Fattore di conversione per effetti di lunga durata (Tabella 3-3) ( $\eta_l$ ):        | 0,5  |
| Raggio di curvatura spigolo sezione rinforzata ( $0 \leq r_c/b \leq 0,5$ ) ( $r_c$ ): | 1 mm   |
| Passo degli strati di rinforzo ( $p_f$ ):   | 250 mm   |
| Angolo d'inclinazione delle fibre rispetto all'asse longitudinale ( $\beta$ ):        | 90 °   |

### Resistenza a taglio della sezione rinforzata con FRP

|  |                          |
|--|--------------------------|
| Energia specifica di frattura ( $\Gamma_{fd}$ ):                           | 0,24 N/mm <sup>2</sup>   |
| Tensione di progetto del rinforzo (distacco del primo modo) ( $f_{fdd}$ ): | 396,51 N/mm <sup>2</sup> |
| Resistenza di adesione rinforzo-calcestruzzo ( $f_{bd}$ ):                 | 0,32 N/mm <sup>2</sup>   |
| Lunghezza ottimale di ancoraggio di progetto ( $l_{ed}$ ):                 | 200 N/mm <sup>2</sup>    |
| Tensione efficace di calcolo ( $f_{red}$ ):                                | 341,44 N/mm <sup>2</sup> |

Considerata una resistenza della sezione non rinforzata con armature trasversali

si ottiene che:

|               |  |           |
|---------------|--|-----------|
| $V_{Rd,s}$    | resistenza a taglio-trazione dell'armatura trasversale | 49,55 kN  |
| $V_{Rd,r}$    | resistenza a taglio-trazione del rinforzo in FRP       | 122,61 kN |
| $V_{Rd,c}$    | resistenza a taglio-compressione del calcestruzzo      | 339,15 kN |
| <br>          |  |           |
| $V_{Rd}$      | Resistenza a taglio della sezione NON rinforzata       | 49,55 kN  |
| $V_{Rd,rinf}$ | Resistenza a taglio della sezione rinforzata           | 172,16 kN |

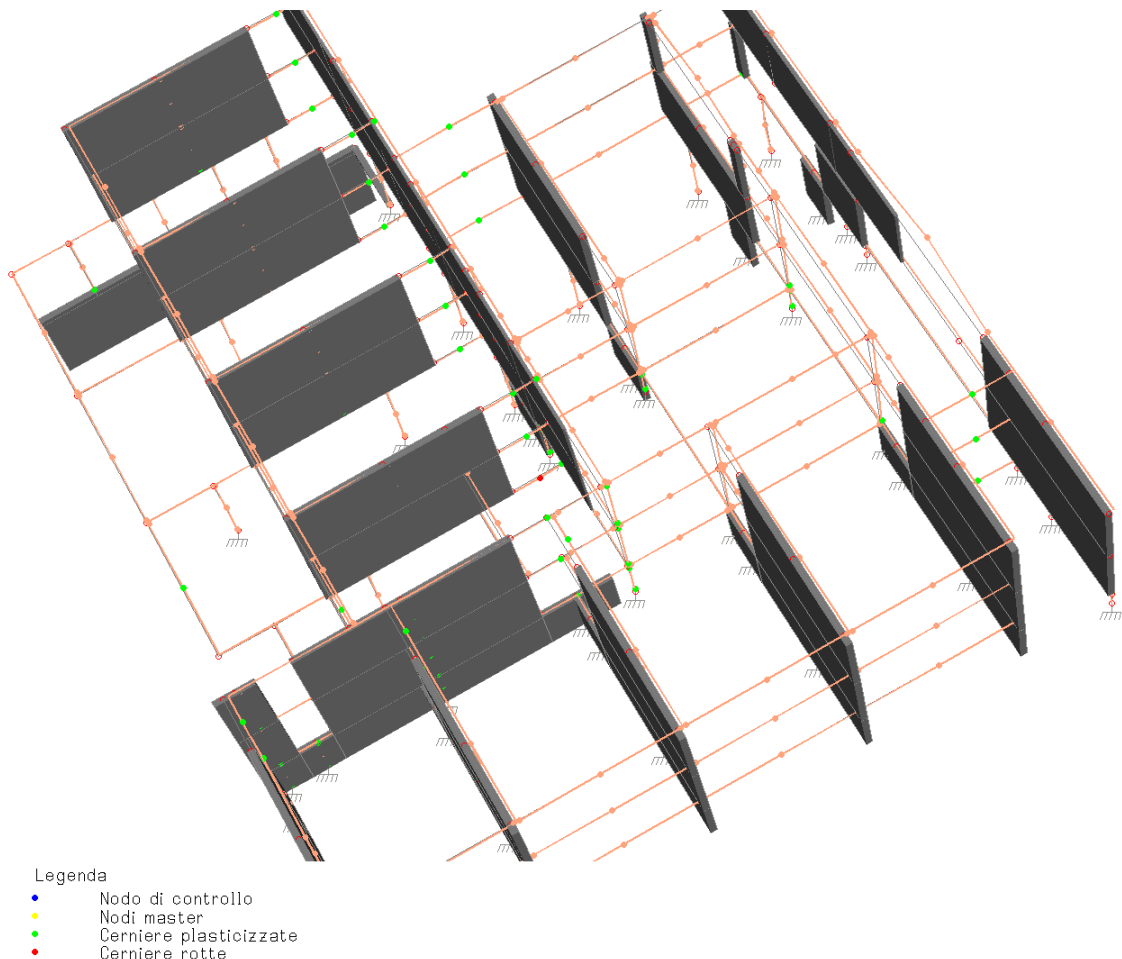
Applicare la limitazione di incremento della capacità di calcolo del 50%? SI

$$V_{Rd,rinf} = 86 \text{ kN} > 77 \text{ kN} \text{ verifica soddisfatta}$$

## 2. ANALISI DEL RINFORZO DELLE TRAVI A SPESSORE

Come indicato nella premessa del paragrafo “Rinforzo delle travi” dall’analisi non lineare si è visto che le cerniere plastiche si concentrano nelle travi a spessore, all’interno dell’edificio, ai vari livelli (piano terra, piano primo, piano secondo); per la riduzione dei fenomeni di **instabilità locale**, quindi, si prevede il **rinforzo a flessione** mediante incollaggio di tessuti in fibra di carbonio e resina impregnante, *della stessa tipologia* di quelli previsti per la trave ricalata trattata in precedenza.

Come possiamo vedere dalla seguente immagine in cui è rappresentata la deformata relativa all’ultimo passo della pushover allo stato attuale, nella combinazione 9, le cerniere si sono localizzate soprattutto nelle sezioni di mezzeria e finali delle travi a spessore 5-6, 8-9 e 11-12 e nelle travi ricalate 18-19.



Per queste travi, quindi, si riportano solo i calcoli di verifica, distinti per le varie tipologie di sezione, e solo nella combinazione, per ognuna di esse, più gravosa.

Con il presente progetto saranno posizionati dei controventi in corrispondenza della campata 18-19, che quindi non sarà interessata dall’intervento di rinforzo, mentre sulle altre travi a spessore di collegamento tra i maschi murari portanti e le pareti di controvento si progetta un intervento di rinforzo mediante l’uso di materiali compositi FRP.

Le travi interessate dal rinforzo saranno:

- n.3 al solaio del piano terra in cui sarà disposto solamente un rinforzo inferiore.
- n.10 al solaio del piano primo in cui sarà disposto un rinforzo sia superiore che inferiore.
- n.10 al solaio di copertura in cui sarà disposto solamente un rinforzo inferiore.

Saranno interessate in totale 4 tipi di sezione, riepilogati nel prospetto seguente:

| SEZIONE | BASE (cm) | ALTEZZA (cm) | ARM. SUP. | ARM. INF. | STAFFE |
|---------|-----------|--------------|-----------|-----------|--------|
| A       | 60        | 22           | 3Ø16      | 3Ø16      | Ø8/15  |
| B       | 60        | 22           | 3Ø16      | 4Ø16      | Ø8/15  |
| C       | 80        | 22           | 3Ø16      | 7Ø16      | Ø8/15  |
| D       | 40        | 22           | 3Ø16      | 4Ø16      | Ø8/10  |

Le armature riportate si riferiscono alla disposizione effettivamente rilevata da saggi sulle travi (si veda allegato con le immagini dei saggi), ed alla disposizione indicata nelle tavole di progetto depositate al Genio Civile.

Il sistema di rinforzo strutturale da utilizzare sarà un placcaggio fibrorinforzato realizzato “in situ” e costituito da tessuti in fibra di carbonio abbinati a resine di impregnazione di tipo epossidico.

In ogni intervento sono previsti 3o2 strati di tessuto in fibra di carbonio della larghezza di 20cm ciascuno, di area totale di 405 mm<sup>2</sup>.

Non avendo a disposizione una lunghezza sufficiente di ancoraggio, le fascie saranno ancorate mediante connettori in fibra di diametro 8mm.

Si riportano i risultati di calcolo estesi per la sola sezione B nella condizione di rinforzo di rinforzo sia superiore che inferiore. Di seguito si riporteranno i risultati sintetici delle altre sezioni

|  |       |                |                |
|--|-------|----------------|----------------|
| SEZIONE B                              | 60x22 | arm. Sup. 3Ø16 | arm. Inf. 4Ø16 |
| <b>rinforzo superiore ed inferiore</b> |       |                |                |

Si riporta di seguito il calcolo per la valutazione del rinforzo a pressoflessione di un elemento in calcestruzzo armato con sezione rettangolare mediante l'uso di materiali compositi FRP. La presente relazione riporta le caratteristiche della sezione, le proprietà scelte per i materiali, la verifica allo stato limite ultimo per flessione retta e la verifica allo stato limite di esercizio per le tensioni.

Normative di riferimento assunte per il calcolo

Il calcolo è redatto in conformità alle indicazioni delle Norme Tecniche per le costruzioni (NTC2008), integrate dalla Circolare applicativa del 2009, e delle linee guida CNR-DT 200R1/2013 “Istruzioni per la progettazione, l'esecuzione e il controllo di interventi di consolidamento statico mediante l'uso di compositi fibrorinforzati”.

Caratteristiche geometriche della sezione

Base maggiore (B): 600 mm

Altezza totale (H): 220 mm

Caratteristiche delle armature

|   | ds [mm] | N. Barre | $\phi$ [mm] | As [mm <sup>2</sup> ] |
|---|---------|----------|-------------|-----------------------|
| Geometria delle armature                    | 36      | 3        | 16          | 603                   |
|   | 184     | 4        | 16          | 804                   |
| Coprifero di calcolo superiore (delta_sup): | 36 mm   |          |             |                       |
| Coprifero di calcolo inferiore (delta_inf): | 36 mm   |          |             |                       |

## Caratteristiche geometriche del rinforzo a flessione

Tipo di rinforzo in FRP scelto a flessione: Tessuti  
 Tipo di fibra del rinforzo: Fibra di Carbonio  
 Resistenza media a trazione: Valori di Classe

| <b>Disposizione degli elementi in FRP</b> |   | <b>dFRP [mm]</b> | <b>n. strati</b> | <b>bf [mm]</b> | <b>tf [mm]</b> | <b>Af [mm<sup>2</sup>]</b> | <b>n. fasce affiancate</b> |
|---|---|------------------|------------------|----------------|----------------|----------------------------|----------------------------|
| Elemento sup                              | FB GV420U-HT020-RC02 (Classe 210C), da 1 a 3 strati | 0                | 3                | 600            | 0,225          | 405                        | 3                          |
| Elemento inf                              | FB GV420U-HT020-RC02 (Classe 210C), da 1 a 3 strati | 220              | 3                | 600            | 0,225          | 405                        | 3                          |

## Caratteristiche dei materiali

Nel presente paragrafo sono riportate le proprietà dei materiali scelti per il calcolo. Le resistenze di progetto di calcestruzzo e acciaio sono state divise per un opportuno fattore di confidenza, valutato sulla base del livello di conoscenza raggiunto.

Livello di conoscenza:

Fattore di confidenza adottato: 1,2

| <b>Calcestruzzo</b>   | <b>Acciaio</b>           |
|---|--------------------------|
| Resistenza cilindrica (stimata o da prove) (fc):                  | 20 N/mm <sup>2</sup>     |
| Resistenza cilindrica media (fcm):                                | 28 N/mm <sup>2</sup>     |
| Resistenza media a trazione (fctm):                               | 2,21 N/mm <sup>2</sup>   |
| Modulo di elasticità normale (Ecm):                               | 29962 N/mm <sup>2</sup>  |
| Deformazione di riferimento del calcestruzzo ( $\epsilon_{c2}$ ): | 0,002                    |
| Deformazione ultima del calcestruzzo ( $\epsilon_{cu}$ ):         | 0,0035                   |
| Coefficiente di sicurezza ( $\gamma_c$ ):                         | 1,5                      |
| Resistenza di progetto (fcd):                                     | 9,44 N/mm <sup>2</sup>   |
| Resistenza caratteristica a snervamento (fyk):                    | 375 N/mm <sup>2</sup>    |
| Resistenza caratteristica a rottura (ftk):                        | 451 N/mm <sup>2</sup>    |
| Modulo di elasticità normale (Es):                                | 206000 N/mm <sup>2</sup> |
| Deformazione di progetto dell'acciaio ( $\epsilon_{yd}$ ):        | 0,0013                   |
| Deformazione a rottura dell'acciaio ( $\epsilon_u$ ):             | 0,0675                   |
| Coefficiente di sicurezza ( $\gamma_s$ ):                         | 1,15                     |
| Resistenza di progetto a snervamento (fyd):                       | 272 N/mm <sup>2</sup>    |

## Rinforzo FRP a flessione

Il rinforzo scelto a flessione è costituito da Tessuti in Fibra di Carbonio dalle seguenti caratteristiche geometriche e meccaniche. La condizione di esposizione considerata è interna. Il tipo di carico è di lungo termine.

Condizione di esposizione: interna

|  |                             |
|--|-----------------------------|
| Tipologia di carico:   | di lungo<br>termine         |
| Resistenza caratteristica del rinforzo (ffk):                    | 2700 N/mm <sup>2</sup>      |
| Modulo di elasticità normale del rinforzo (Ef):                  | 210000<br>N/mm <sup>2</sup> |
| Allungamento a rottura della fibra ( $\epsilon_f$ ):             | 0,0129                      |
| Fattore di conversione ambientale ( $\eta_a$ ):                  | 0,95                        |
| Fattore di conversione effetti di lunga durata ( $\eta_l$ ):     | 0,8                         |
| Coefficiente parziale di sicurezza del materiale ( $\gamma_f$ ): | 1,1                         |

Negli interventi di rinforzo con FRP l'aderenza tra il calcestruzzo e il composito assume grande importanza, in quanto il meccanismo di rottura per distacco dal supporto è di tipo fragile. Il distacco dei rinforzi a flessione può verificarsi secondo diverse modalità, ma i più frequenti sono il distacco d'estremità e il distacco intermedio, causato dalle fessure per flessione nella trave. Nel seguito si considereranno solo queste due modalità, in quanto le altre modalità di collasso fragile possono essere mitigate seguendo le indicazioni del paragrafo 4.8 della CNR 200R1/2013 sulle condizioni del substrato e la preparazione del supporto.

Tipologia di carico applicato: Uniformemente distribuito

Coefficiente correttivo di tipo sperimentale (Kg): 0,037 mm

Coefficiente parziale del materiale per distacco dal supporto ( $\gamma_f,d$ ): 1,2

Coefficiente correttivo di tipo geometrico (Kb): 1

Energia specifica di frattura ( $\Gamma_f$ ): 0,205 N/mm<sup>2</sup>

Tensione di aderenza di progetto (fbd): 1,64 N/mm<sup>2</sup>

La lunghezza di ancoraggio ottimale del rinforzo è pari alla lunghezza necessaria ad assicurare la trasmissione del massimo sforzo di aderenza. Nel caso di lunghezze di ancoraggio inferiori a quella ottimale la tensione limite nel rinforzo per evitare il distacco di estremità (1° modo) deve essere opportunamente ridotta.

Lunghezza ottimale di ancoraggio di progetto (led): 184,7 mm

Lunghezza effettiva di ancoraggio (lb): 200 mm

Le tensioni massime di progetto per il composito, necessarie a evitare il distacco dal supporto, sono le seguenti.

Tensione di progetto del rinforzo (distacco del 1° modo) (ffdd,1): 297,6 N/mm<sup>2</sup>

Tensione di progetto del rinforzo (distacco del 2° modo) (ffdd,2): 611,6 N/mm<sup>2</sup>

Disporre elementi di ancoraggio all'estremità: Si

Tipologia di ancoraggio all'estremità: Ardfix

Altezza del tessuto (H): 220 mm

Larghezza del tessuto (bf): 600 mm

Lunghezza connettore ARDFIX (hARDFIX): 147 mm

Diametro del connettore ( $\Phi$ ARDFIX): 8 mm

Tensione di progetto ridotta in funzione di lb: 611,6 N/mm<sup>2</sup>

Il valore ffdd,2 rappresenta la massima tensione applicabile sul rinforzo per non avere distacchi intermedi, mentre il valore ffdd,rid rappresenta il valore di tensione che determina il distacco d'estremità. Il primo valore non può essere superato per tutto lo sviluppo del rinforzo, mentre il secondo valore non può essere superato ad una distanza dall'estremo del rinforzo inferiore o uguale alla lunghezza effettiva di ancoraggio lb.

Nel caso in esame, il rinforzo a confinamento non è presente e si considera la possibilità di distacco intermedio. Si considera comunque la presenza di un tessuto trasversale all'estremità del rinforzo longitudinale, per prevenire il distacco d'estremità.

Deformazione limite del composito per distacco dal supporto ( $\epsilon_{fdd}$ ): 0,0029  
Deformazione di progetto del rinforzo ( $\epsilon_{fd}$ ): 0,0029

#### Sollecitazioni di calcolo

Nel presente paragrafo sono riportate le sollecitazioni agenti sulla sezione per le combinazioni quasi permanente, rara e allo stato limite ultimo. È riportata anche la sollecitazione flettente presente all'atto dell'applicazione del rinforzo, necessaria a valutare lo stato deformativo della struttura. I valori indicati sono positivi nel caso di fibre tese inferiori. Lo sforzo assiale è positivo nel caso di trazione.

Resistenza di progetto del calcestruzzo (  $f_{cd}$  ): 9,44 N/mm<sup>2</sup>  
Deformazione ultima del calcestruzzo (  $\epsilon_{cu}$  ): 0,0035  
Deformazione ultima a rottura per il confinamento (  $\epsilon_{f,rid}$  ): 0  
Resistenza del calcestruzzo confinato (  $f_{ccd}$  ): 9,44  
Incremento di resistenza del calcestruzzo confinato: 1  
Deformazione ultima del calcestruzzo confinato (  $\epsilon_{eccd}$  ): 0,0035

#### Verifiche a flessione della sezione non rinforzata

Di seguito sono riportate le verifiche a flessione retta per la sezione considerata in assenza del rinforzo. La verifica viene effettuata secondo le usuali ipotesi di conservazione delle sezioni piane, perfetta aderenza tra i materiali componenti, resistenza a trazione nulla del calcestruzzo e legami costitutivi di calcestruzzo e acciaio conformi alla normativa vigente.

Posizione dell'asse neutro dal bordo superiore (  $X_+$  ): 39,39 mm  
Deformazione al lembo superiore (  $\epsilon_{sup}$  ): -3,5 %  
Deformazione sull'armatura inferiore (  $\epsilon_{inf}$  ): 12,85 %  
Momento resistente della sezione (  $MR_{d+}$  ): 35,88 kNm  
Posizione dell'asse neutro dal bordo inferiore (  $X_-$  ): 35,93 mm  
Deformazione sull'armatura superiore (  $\epsilon_{sup}$  ): 14,43 %  
Deformazione al lembo inferiore (  $\epsilon_{inf}$  ): -3,5 %  
Momento resistente della sezione (  $MR_{d-}$  ): -27,72 kNm

#### Verifiche a flessione della sezione rinforzata

Di seguito sono riportate le verifiche a flessione retta per la sezione considerata in presenza del rinforzo. La verifica viene effettuata secondo le ipotesi descritte in precedenza, ipotizzando per l'FRP un comportamento elastico lineare fino a rottura.

Per il calcolo del momento resistente si ipotizza che la rottura possa avvenire o al raggiungimento della massima deformazione plastica nel calcestruzzo compresso,  $\epsilon_{cu}$ , o al raggiungimento della massima deformazione a rottura  $\epsilon_{fd}$  nel rinforzo in FRP.

Poichè l'elemento non è confinato le proprietà scelte per il calcestruzzo sono quelle di base del materiale.

Coefficiente di sicurezza per il rinforzo a flessione (  $\gamma_{Rd}$  ): 1,1  
Posizione dell'asse neutro dal bordo superiore (  $X_+$  ): 87,64 mm  
Deformazione al lembo superiore (  $\epsilon_{sup}$  ): -1,93 %  
Deformazione al lembo inferiore (  $\epsilon_{inf}$  ): 2,91 %  
Momento resistente positivo della sezione rinforzata (  $MR_{d+rinf}$  ): 71,81 kNm  
Incremento di resistenza momento positivo: 2  
Posizione dell'asse neutro dal bordo inferiore (  $X_-$  ): 78,86 mm  
Deformazione al lembo superiore (  $\epsilon_{sup}$  ): 2,91 %  
Deformazione al lembo inferiore (  $\epsilon_{inf}$  ): -1,63 %  
Momento resistente negativo della sezione rinforzata (  $MR_{d-rinf}$  ): -65,23 kNm  
Incremento di resistenza momento negativo: 2,35

L'incremento di resistenza della sezione è superiore al limite di 1.5 volte imposto al punto 3.3.4 della CNR-DT 200R1/2013. Questo limite può essere trascurato in presenza di azioni eccezionali o

sismiche, altrimenti deve di norma essere tenuto in conto.

#### Riepilogo verifiche

|                              | <i>Momento<br/>ultimo pos.</i> | <i>Momento<br/>ultimo neg.</i> | <i>Incremento<br/>di resist. pos.</i> | <i>Incremento<br/>di resist.<br/>neg.</i> |
|------------------------------|--------------------------------|--------------------------------|---------------------------------------|---|
| Sezione non rinforzata [kNm] | 35,88                          | -27,72                         | -                                     | -   |
| Sezione rinforzata [kNm]     | 71,81                          | -65,23                         | 2                                     | 2,35                                      |

Si riportano di seguito le verifiche sintetiche delle altre sezioni

|           |   |                |                |
|-----------|---|----------------|----------------|
| SEZIONE A | 60x22<br>rinforzo inferiore e superiore | arm. Sup. 3Ø16 | arm. Inf. 3Ø16 |
|-----------|---|----------------|----------------|

### Caratteristiche geometriche della sezione

Base maggiore (B): 600 mm

Altezza totale (H): 220 mm

### Caratteristiche delle armature

|   | ds [mm] | N. Barre | φ [mm] | As [mm <sup>2</sup> ] |
|---|---------|----------|--------|-----------------------|
| Geometria delle armature                    | 36      | 3        | 16     | 603                   |
|   | 184     | 3        | 16     | 603                   |
| Coprifero di calcolo superiore (delta_sup): | 36 mm   |          |        |                       |
| Coprifero di calcolo inferiore (delta_inf): | 36 mm   |          |        |                       |

### Caratteristiche geometriche del rinforzo a flessione

Tipo di rinforzo in FRP scelto a flessione: Tessuti

Tipo di fibra del rinforzo: Fibra di Carbonio

Resistenza media a trazione: Valori di Classe

| <i>Disposizione degli elementi in FRP</i> |   | dFRP [mm] | n. strati | bf [mm] | tf [mm] | Af [mm <sup>2</sup> ] | n. fasce affiancate |
|---|---|-----------|-----------|---------|---------|-----------------------|---------------------|
| Elemento sup                              | FB GV420U-HT020-RC02 (Classe 210C), da 1 a 3 strati | 0         | 3         | 600     | 0,225   | 405                   | 3                   |
| Elemento inf                              | FB GV420U-HT020-RC02 (Classe 210C), da 1 a 3 strati | 220       | 3         | 600     | 0,225   | 405                   | 3                   |

### Verifiche a flessione della sezione rinforzata

Di seguito sono riportate le verifiche a flessione retta per la sezione considerata in presenza del rinforzo. La verifica viene effettuata secondo le ipotesi descritte in precedenza, ipotizzando per l'FRP un comportamento elastico lineare fino a rottura.

Per il calcolo del momento resistente si ipotizza che la rottura possa avvenire o al raggiungimento della massima deformazione plastica nel calcestruzzo compresso,  $\epsilon_{cu}$ , o al raggiungimento della massima deformazione a rottura  $\epsilon_{fd}$  nel rinforzo in FRP.

Poichè l'elemento non è confinato le proprietà scelte per il calcestruzzo sono quelle di base del materiale.

Coefficiente di sicurezza per il rinforzo a flessione ( $\gamma_{Rd}$ ): 1,1

Posizione dell'asse neutro dal bordo superiore (X+): 82,47 mm

Deformazione al lembo superiore ( $\epsilon_{sup}$ ): -1,75 %

Deformazione al lembo inferiore ( $\epsilon_{inf}$ ): 2,91 %

Momento resistente positivo della sezione rinforzata (MRd+rinf): 64,98 kNm

Incremento di resistenza momento positivo: 2,34

Posizione dell'asse neutro dal bordo inferiore (X-): 82,47 mm

Deformazione al lembo superiore ( $\epsilon_{sup}$ ): 2,91 %

Deformazione al lembo inferiore ( $\epsilon_{inf}$ ): -1,75 %

Momento resistente negativo della sezione rinforzata (MRd-rinf): -64,98 kNm

Incremento di resistenza momento negativo: 2,34

L'incremento di resistenza della sezione è superiore al limite di 1.5 volte imposto al punto 3.3.4 della CNR-DT 200R1/2013. Questo limite può essere trascurato in presenza di azioni eccezionali o sismiche, altrimenti deve di norma essere tenuto in conto.

## Riepilogo verifiche

|                              | <b>Momento sollecitan te</b> | <b>Momento ultimo pos.</b> | <b>Momento ultimo neg.</b> | <b>Fattore di utilizzo</b> | <b>Incremento di resist. pos.</b> | <b>Incremento di resist. neg.</b> |
|------------------------------|------------------------------|----------------------------|----------------------------|----------------------------|-----------------------------------|-----------------------------------|
| Sezione non rinforzata [kNm] | 0                            | 27,72                      | -27,72                     | 0                          | -                                 | -                                 |
| Sezione rinforzata [kNm]     |                              | 64,98                      | -64,98                     | 0                          | 2,34                              | 2,34                              |

|                                 |       |                |                |
|---------------------------------|-------|----------------|----------------|
| SEZIONE A<br>rinforzo inferiore | 60x22 | arm. Sup. 3Ø16 | arm. Inf. 3Ø16 |
|---------------------------------|-------|----------------|----------------|

### Caratteristiche geometriche della sezione

Base maggiore (B): 600 mm

Altezza totale (H): 220 mm

### Caratteristiche delle armature

|  | ds [mm] | N. Barre | φ [mm] | As [mm <sup>2</sup> ] |
|--|---------|----------|--------|-----------------------|
| Geometria delle armature                     | 36      | 3        | 16     | 603                   |
|  | 184     | 3        | 16     | 603                   |
| Copriferro di calcolo superiore (delta_sup): | 36 mm   |          |        |                       |
| Copriferro di calcolo inferiore (delta_inf): | 36 mm   |          |        |                       |

### Caratteristiche geometriche del rinforzo a flessione

Tipo di rinforzo in FRP scelto a flessione: Tessuti

Tipo di fibra del rinforzo: Fibra di Carbonio

Resistenza media a trazione: Valori di Classe

| Disposizione degli elementi in FRP                               | dFRP [mm] | n. strati | bf [mm] | tf [mm] | Af [mm <sup>2</sup> ] | n. fasce affiancate |
|--|-----------|-----------|---------|---------|-----------------------|---------------------|
| Elemento sup   | 0         | 0         | 0       | 0       | 0                     | 0                   |
| Elemento inf FB GV420U-HT020-RC02 (Classe 210C), da 1 a 3 strati | 220       | 3         | 600     | 0,225   | 405                   | 3                   |

### Verifiche a flessione della sezione rinforzata

Di seguito sono riportate le verifiche a flessione retta per la sezione considerata in presenza del rinforzo. La verifica viene effettuata secondo le ipotesi descritte in precedenza, ipotizzando per l'FRP un comportamento elastico lineare fino a rottura.

Per il calcolo del momento resistente si ipotizza che la rottura possa avvenire o al raggiungimento della massima deformazione plastica nel calcestruzzo compresso,  $\epsilon_{cu}$ , o al raggiungimento della massima deformazione a rottura  $\epsilon_{fd}$  nel rinforzo in FRP.

Poichè l'elemento non è confinato le proprietà scelte per il calcestruzzo sono quelle di base del materiale.

Coefficiente di sicurezza per il rinforzo a flessione ( $\gamma_{Rd}$ ): 1,1

Posizione dell'asse neutro dal bordo superiore (X+): 82,47 mm

Deformazione al lembo superiore ( $\epsilon_{sup}$ ): -1,75 %

Deformazione al lembo inferiore ( $\epsilon_{inf}$ ): 2,91 %

Momento resistente positivo della sezione rinforzata (MRd+rinf): 64,98 kNm

Incremento di resistenza momento positivo: 2,34

Posizione dell'asse neutro dal bordo inferiore ( X- ): 54,38 mm  
 Deformazione al lembo superiore (  $\epsilon_{sup}$  ): 2,91 %  
 Deformazione al lembo inferiore (  $\epsilon_{inf}$  ): -0,96 %  
 Momento resistente negativo della sezione rinforzata ( MRd-rinf ): -27,72 kNm  
 Incremento di resistenza momento negativo: 1  
 L'incremento di resistenza è inferiore al limite di 1.5 volte imposto al punto 3.3.4 della CNR-DT 200R1/2013.

### Riepilogo verifiche

|                              | Momento sollecitato te | Momento ultimo pos. | Momento ultimo neg. | Fattore di utilizzo | Incremento di resist. pos. | Incremento di resist. neg. |
|------------------------------|------------------------|---------------------|---------------------|---------------------|----------------------------|----------------------------|
| Sezione non rinforzata [kNm] | 0                      | 27,72               | -27,72              | 0                   | -                          | -                          |
| Sezione rinforzata [kNm]     |                        | 64,98               | -27,72              | 0                   | 2,34                       | 1                          |

|                                       |                |                |
|---------------------------------------|----------------|----------------|
| SEZIONE C 80x22                       | arm. Sup. 3Ø16 | arm. Inf. 7Ø16 |
| <b>rinforzo superiore e inferiore</b> |                |                |

### Caratteristiche geometriche della sezione

Base maggiore (B): 800 mm

Altezza totale (H): 220 mm

### Caratteristiche delle armature

|  | ds [mm] | N. Barre | φ [mm] | As [mm <sup>2</sup> ] |
|--|---------|----------|--------|-----------------------|
| Geometria delle armature                     | 36      | 3        | 16     | 603                   |
|  | 184     | 7        | 16     | 1407                  |
| Copriferro di calcolo superiore (delta_sup): | 36 mm   |          |        |                       |
| Copriferro di calcolo inferiore (delta_inf): | 36 mm   |          |        |                       |

### Caratteristiche geometriche del rinforzo a flessione

Tipo di rinforzo in FRP scelto a flessione: Tessuti

Tipo di fibra del rinforzo: Fibra di Carbonio

Resistenza media a trazione: Valori di Classe

| Disposizione degli elementi in FRP                               | dFRP [mm] | n. strati | bf [mm] | tf [mm] | Af [mm <sup>2</sup> ] | n. fasce affiancate |
|--|-----------|-----------|---------|---------|-----------------------|---------------------|
| Elemento sup FB GV420U-HT020-RC02 (Classe 210C), da 1 a 3 strati | 0         | 3         | 600     | 0,225   | 405                   | 3                   |
| Elemento inf FB GV420U-HT020-RC02 (Classe 210C), da 1 a 3 strati | 220       | 3         | 600     | 0,225   | 405                   | 3                   |

### Verifiche a flessione della sezione rinforzata

Di seguito sono riportate le verifiche a flessione retta per la sezione considerata in presenza del rinforzo. La verifica viene effettuata secondo le ipotesi descritte in precedenza, ipotizzando per l'FRP un comportamento elastico lineare fino a rottura.

Per il calcolo del momento resistente si ipotizza che la rottura possa avvenire o al raggiungimento della massima deformazione plastica nel calcestruzzo compresso,  $\epsilon_{cu}$ , o al raggiungimento della massima deformazione a rottura  $\epsilon_{fd}$  nel rinforzo in FRP.

Poichè l'elemento non è confinato le proprietà scelte per il calcestruzzo sono quelle di base del

materiale.

Coefficiente di sicurezza per il rinforzo a flessione (  $\gamma_{Rd}$  ): 1,1

Posizione dell'asse neutro dal bordo superiore ( X+): 91,85 mm

Deformazione al lembo superiore (  $\varepsilon_{sup}$  ): -2,09 %

Deformazione al lembo inferiore (  $\varepsilon_{inf}$  ): 2,91 %

Momento resistente positivo della sezione rinforzata ( MRd+rinf ): 93,44 kNm

Incremento di resistenza momento positivo: 1,52

Posizione dell'asse neutro dal bordo inferiore ( X- ): 66,04 mm

Deformazione al lembo superiore (  $\varepsilon_{sup}$  ): 2,91 %

Deformazione al lembo inferiore (  $\varepsilon_{inf}$  ): -1,25 %

Momento resistente negativo della sezione rinforzata ( MRd-rinf ): -66,29 kNm

Incremento di resistenza momento negativo: 2,3

L'incremento di resistenza della sezione è superiore al limite di 1.5 volte imposto al punto 3.3.4 della CNR-DT 200R1/2013. Questo limite può essere trascurato in presenza di azioni eccezionali o sismiche, altrimenti deve di norma essere tenuto in conto.

### Riepilogo verifiche

|                              | <b>Momento sollecitante</b> | <b>Momento ultimo pos.</b> | <b>Momento ultimo neg.</b> | <b>Fattore di utilizzo</b> | <b>Incremento di resist. pos.</b> | <b>Incremento di resist. neg.</b> |
|------------------------------|-----------------------------|----------------------------|----------------------------|----------------------------|-----------------------------------|-----------------------------------|
| Sezione non rinforzata [kNm] | 0                           | 61,34                      | -28,82                     | 0                          | -                                 | -                                 |
| Sezione rinforzata [kNm]     |                             | 93,44                      | -66,29                     | 0                          | 1,52                              | 2,3                               |

|                           |       |                |                |
|---------------------------|-------|----------------|----------------|
| SEZIONE C                 | 80x22 | arm. Sup. 3Ø16 | arm. Inf. 7Ø16 |
| <b>rinforzo inferiore</b> |       |                |                |

### Caratteristiche geometriche della sezione

Base maggiore (B): 800 mm

Altezza totale (H): 220 mm

### Caratteristiche delle armature

|   | ds [mm] | N. Barre | φ [mm] | As [mm <sup>2</sup> ] |
|---|---------|----------|--------|-----------------------|
| Geometria delle armature                    | 36      | 3        | 16     | 603                   |
|   | 184     | 7        | 16     | 1407                  |
| Coprifero di calcolo superiore (delta_sup): | 36 mm   |          |        |                       |
| Coprifero di calcolo inferiore (delta_inf): | 36 mm   |          |        |                       |

### Caratteristiche geometriche del rinforzo a flessione

Tipo di rinforzo in FRP scelto a flessione: Tessuti  
 Tipo di fibra del rinforzo: Fibra di Carbonio  
 Resistenza media a trazione: Valori di Classe

| Disposizione degli elementi in FRP |   | dFRP [mm] | n. strati | bf [mm] | tf [mm] | Af [mm <sup>2</sup> ] | n. fasce affiancate |
|------------------------------------|---|-----------|-----------|---------|---------|-----------------------|---------------------|
| Elemento sup                       |   | 0         | 0         | 0       | 0       | 0                     | 0                   |
| Elemento inf                       | FB GV420U-HT020-RC02 (Classe 210C), da 1 a 3 strati | 220       | 3         | 600     | 0,225   | 405                   | 3                   |

### Verifiche a flessione della sezione rinforzata

Di seguito sono riportate le verifiche a flessione retta per la sezione considerata in presenza del rinforzo. La verifica viene effettuata secondo le ipotesi descritte in precedenza, ipotizzando per l'FRP un comportamento elastico lineare fino a rottura.

Per il calcolo del momento resistente si ipotizza che la rottura possa avvenire o al raggiungimento della massima deformazione plastica nel calcestruzzo compresso,  $\epsilon_{cu}$ , o al raggiungimento della massima deformazione a rottura  $\epsilon_{fd}$  nel rinforzo in FRP.

Poichè l'elemento non è confinato le proprietà scelte per il calcestruzzo sono quelle di base del materiale.

Coefficiente di sicurezza per il rinforzo a flessione ( $\gamma_{Rd}$ ): 1,1

Posizione dell'asse neutro dal bordo superiore ( $X_+$ ): 91,85 mm

Deformazione al lembo superiore ( $\epsilon_{sup}$ ): -2,09 %

Deformazione al lembo inferiore ( $\epsilon_{inf}$ ): 2,91 %

Momento resistente positivo della sezione rinforzata ( $MR_d + r_{inf}$ ): 93,44 kNm

Incremento di resistenza momento positivo: 1,52

Posizione dell'asse neutro dal bordo inferiore ( $X_-$ ): 45,9 mm

Deformazione al lembo superiore ( $\epsilon_{sup}$ ): 2,91 %

Deformazione al lembo inferiore ( $\epsilon_{inf}$ ): -0,77 %

Momento resistente negativo della sezione rinforzata ( $MR_d - r_{inf}$ ): -28,82 kNm

Incremento di resistenza momento negativo: 1

L'incremento di resistenza è inferiore al limite di 1.5 volte imposto al punto 3.3.4 della CNR-DT 200R1/2013.

### Riepilogo verifiche

|                              | Momento sollecitante te | Momento ultimo pos. | Momento ultimo neg. | Fattore di utilizzo | Incremento di resist. pos. | Incremento di resist. neg. |
|------------------------------|-------------------------|---------------------|---------------------|---------------------|----------------------------|----------------------------|
| Sezione non rinforzata [kNm] | 0                       | 61,34               | -28,82              | 0                   | -                          | -                          |
| Sezione rinforzata [kNm]     |                         | 93,44               | -28,82              | 0                   | 1,52                       | 1                          |

|                           |       |                |                |
|---------------------------|-------|----------------|----------------|
| SEZIONE D                 | 40x22 | arm. Sup. 3Ø16 | arm. Inf. 4Ø16 |
| <b>rinforzo inferiore</b> |       |                |                |

### Caratteristiche geometriche della sezione

Base maggiore (B): 400 mm

Altezza totale (H): 220 mm

### Caratteristiche delle armature

|                          | ds [mm] | N. Barre | φ [mm] | As [mm <sup>2</sup> ] |
|--------------------------|---------|----------|--------|-----------------------|
| Geometria delle armature | 36      | 3        | 16     | 603                   |

|   |       |   |    |      |
|---|-------|---|----|------|
|   | 184   | 4 | 16 | 1407 |
| Coprifero di calcolo superiore (delta_sup): | 36 mm |   |    |      |
| Coprifero di calcolo inferiore (delta_inf): | 36 mm |   |    |      |

#### Caratteristiche geometriche del rinforzo a flessione

Tipo di rinforzo in FRP scelto a flessione: Tessuti  
 Tipo di fibra del rinforzo: Fibra di Carbonio  
 Resistenza media a trazione: Valori di Classe

#### *Disposizione degli elementi in FRP*

|  | dFRP [mm] | n. strati | bf [mm] | tf [mm] | Af [mm <sup>2</sup> ] | n. fasce affiancate |
|--|-----------|-----------|---------|---------|-----------------------|---------------------|
| Elemento sup   | 0         | 0         | 0       | 0       | 0                     | 0                   |
| Elemento inf FB GV420U-HT020-RC02 (Classe 210C), da 1 a 3 strati | 220       | 3         | 600     | 0,225   | 405                   | 3                   |

#### Verifiche a flessione della sezione rinforzata

Di seguito sono riportate le verifiche a flessione retta per la sezione considerata in presenza del rinforzo. La verifica viene effettuata secondo le ipotesi descritte in precedenza, ipotizzando per l'FRP un comportamento elastico lineare fino a rottura.

Per il calcolo del momento resistente si ipotizza che la rottura possa avvenire o al raggiungimento della massima deformazione plastica nel calcestruzzo compresso,  $\epsilon_{cu}$ , o al raggiungimento della massima deformazione a rottura  $\epsilon_{fd}$  nel rinforzo in FRP.

Poichè l'elemento non è confinato le proprietà scelte per il calcestruzzo sono quelle di base del materiale.

Coefficiente di sicurezza per il rinforzo a flessione (  $\gamma_{Rd}$  ): 1,1

Posizione dell'asse neutro dal bordo superiore ( X+): 106,09 mm

Deformazione al lembo superiore (  $\epsilon_{sup}$  ): -2,71 %

Deformazione al lembo inferiore (  $\epsilon_{inf}$  ): 2,91 %

Momento resistente positivo della sezione rinforzata ( MRd+rinf ): 69,15 kNm

Incremento di resistenza momento positivo: 1,99

Posizione dell'asse neutro dal bordo inferiore ( X- ): 58,59 mm

Deformazione al lembo superiore (  $\epsilon_{sup}$  ): 2,91 %

Deformazione al lembo inferiore (  $\epsilon_{inf}$  ): -1,06 %

Momento resistente negativo della sezione rinforzata ( MRd-rinf ): -26,61 kNm

Incremento di resistenza momento negativo: 1

L'incremento di resistenza è inferiore al limite di 1.5 volte imposto al punto 3.3.4 della CNR-DT 200R1/2013.

### Riepilogo verifiche

| <b>Momento<br/>sollecitante</b> | <b>Momento<br/>ultimo<br/>pos.</b> | <b>Momento<br/>ultimo<br/>neg.</b> | <b>Fattore<br/>utilizzo</b> | <b>Incremento<br/>di resist.<br/>pos.</b> | <b>Incremento<br/>di resist.<br/>neg.</b> |
|---------------------------------|------------------------------------|------------------------------------|-----------------------------|---|---|
|                                 |                                    |                                    |                             |   |   |
| Sezione non rinforzata<br>[kNm] | 0                                  | 34,72                              | -26,61                      | 0   | -   |
| Sezione rinforzata [kNm]        |                                    | 69,15                              | -26,61                      | 0   | 1,99 1                                    |

Come si può notare dal confronto tra la capacità allo stato attuale e la capacità allo stato di progetto, si ha un miglioramento per ogni combinazione, e l'indice di miglioramento risulta sempre pari o superiore a **1,52**.